### 偏微分方程数值解法

任课教师: 黄忠亿

清华大学数学科学系





### 参考书目

●《偏微分方程数值解法》,陆金甫、关治编著,清华大学出版社



### 目录

- 1 常微分方程数值解
  - 一阶常微方程初值问题的差分方法
  - 常微方程初值问题的多步法
  - 常微方程差分方法的绝对稳定性与相对稳定性
  - 刚性常微分方程组的差分方法
  - Hamilton 系统的辛几何算法





### 常微方程差分方法基本理论

许多常见、重要的物理、化学、生物等过程都可以用常微方程(组)初值问题来描述.另外偏微方程的许多初边值问题经过半离散化(method of lines)以后也可以化为常微方程组来描述.因此,系统回顾一下常微方程(组)的差分方法很有必要.

考虑一阶常微方程(组)初值问题:

(1.1) 
$$\begin{cases} \frac{d\mathbf{y}}{dt} = \mathbf{f}(t, \mathbf{y}), & t \in (0, T], \\ \mathbf{y}(0) = \mathbf{y}_0. \end{cases}$$

这里 
$$\mathbf{y} = \begin{pmatrix} y_1 \\ \vdots \\ y_m \end{pmatrix}, \mathbf{f} = \begin{pmatrix} f_1 \\ \vdots \\ f_m \end{pmatrix}, \mathbf{y}_0 = \begin{pmatrix} y_{0,1} \\ \vdots \\ y_{0,m} \end{pmatrix} \in \mathbb{R}^m.$$



北京 法化士尚

### 常微方程差分方法基本理论

首先我们来看该问题 (1.1) 的适定性.

#### 定义 1.1 (适定性)

如果初值问题 (1.1) 满足

- 存在唯一解:
- ② 对于任给的  $\varepsilon>0$ , 存在正数  $\delta^*$ , 使得当  $|\stackrel{\rightharpoonup}{\varepsilon}_0|<\delta^*$  时, 在 [0,T] 上有  $|\stackrel{\rightharpoonup}{\delta}(x)|$  连续, 且  $|\stackrel{\rightharpoonup}{\delta}||<\delta^*$  时, 初值问题

$$\begin{cases} \mathbf{z}_t = \mathbf{f}(t, \mathbf{z}) + \stackrel{\rightharpoonup}{\delta}, & t \in (0, T], \\ \mathbf{z}(0) = \mathbf{z}_0 + \stackrel{\rightharpoonup}{\varepsilon}_0. \end{cases}$$

存在唯一解  $\mathbf{z}$ , 且  $\forall t \in [0,T]$  有  $\|\mathbf{z} - \mathbf{y}\| < \varepsilon$ .

那么就称初值问题 (1.1) 是适定的.

- 4 ロ ト 4 週 ト 4 夏 ト 4 夏 ト - 夏 - 夕 Q

### 常微方程差分方法基本理论

为了保证上述问题 (1.1) 的适定性 (即解的存在唯一性及对初值和源项的连续依赖性), 通常假设  $\mathbf{f}(t,\mathbf{y})$  关于  $\mathbf{y}$  满足 Lipschitz 连续条件, 即  $\exists L>0, \forall t\in[0,T], \forall \mathbf{x},\mathbf{z}\in\mathbb{R}^m,$  有

$$\|\mathbf{f}(t, \mathbf{x}) - \mathbf{f}(t, \mathbf{z})\| \le L \|\mathbf{x} - \mathbf{z}\|.$$

这里  $\|\cdot\|$  为  $\mathbb{R}^m$  中的某种范数.

由于仅有极少数情形可以写出问题 (1.1) 的解的简单解析表达式,我们这里仅考虑离散化求解方法.

为简单起见,假设对区间 [0,T] 采用等距剖分:

取自然数
$$N$$
, 令步长 $h = \frac{T}{N}$ ,  $t_n = nh$ ,  $n = 0, 1, \dots, N$ .

下面看如何用数值方法计算出  $y(t_n)$  的近似值  $y_n$ .



### 差分格式的一般形式

为简单起见, 以下取 m=1. 可以很容易推广到 m>1 情形.

一般来说,如果知道了  $y_0, y_1, \dots, y_{k-1}$  的值, 可用以下算法来求  $y_k$ :

(1.2) 
$$\begin{cases} \sum_{j=0}^{k} \alpha_j y_{n+j} = h \phi_f(t_n; y_n, y_{n+1}, \cdots, y_{n+k}; h), \\ y_j = S_j(h), \quad j = 0, 1, \cdots, k-1. \end{cases}$$

这里假设  $\alpha_k \neq 0$ .

k=1 称为单步法. k>1 称为多步法.

 $\phi_f$  取不同形式的函数,可得到不同的方法。



### Runge-Kutta 方法——数值积分

下面主要从数值积分的角度推导一下 Runge-Kutta 方法:

将 (1.1) 中的方程改写成积分形式

(1.3) 
$$y(t) = y(t_0) + \int_{t_0}^t f(s, y(s)) ds.$$

这样如果我们知道了  $y_n$ , 可以如下计算  $y_{n+1}$ :

$$y(t_{n+1}) = y(t_n) + \int_{t_n}^{t_{n+1}} f(s, y(s)) ds.$$

问题是如何计算上面的定积分. 要想获得高精度近似解, 一般在  $[t_n, t_{n+1}]$ 上引入几个新节点:  $t_n < s_1 < s_2 < \cdots < s_m < t_{n+1}$ .

可以记 
$$s_j = t_n + a_j h$$
.





如果知道了 f 在  $(s_j, y(s_j))$  上的值  $K_j$ , 可以用公式

$$y_{n+1} = y_n + h \sum_{j=1}^{m} c_j K_j$$

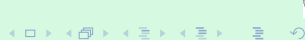
来计算  $y_{n+1}$ , 其中

$$\int_{t_n}^{t_{n+1}} f(s, y(s)) ds \approx h \sum_{j=1}^m c_j K_j = h \sum_{j=1}^m c_j f(s_j, y(s_j))$$

为数值积分公式. 即用 f 在  $s_i(j=1,\dots,m)$  上的值构造 m-1 次插值 多项式, 然后代替 f 计算积分便求得上面定积分的近似.

如何计算 
$$y(s_j) = y(t_n) + \int_{t_n}^{t_n + a_j h} f(s, y(s)) ds$$
 又有多个选择: 如果使用显式格式计算,即用  $f$  在  $s_1, \dots, s_{j-1}$  上的值做插值来计

算上述积分:  $y(s_i) \approx y_n + h \sum_{l=1}^{j-1} b_{il} f(s_l, y(s_l))$ .



黄忠亿. (清华大学 偏微分方程数值解法

## Runge-Kutta 方法——数值积分

代入  $K_j$  的表达式即得:  $K_j = f(t_n + a_j h, y_n + h \sum_{l=1}^{j-1} b_{jl} K_l), j =$  $1, 2, \cdots, m$ .

由显式计算的要求, 有  $a_1 = 0$ , 即  $s_1 = t_n$ ,  $K_1 = f(t_n, y_n)$ .

最终得到显式 Runge-Kutta 格式为

(1.4) 
$$y_{n+1} = y_n + h \sum_{j=1}^m c_j K_j,$$

$$K_j = f \left( t_n + a_j h, y_n + h \sum_{l=1}^{j-1} b_{jl} K_l \right), \quad j = 1, \dots, m.$$

这相当于在(1.2) 中取  $\phi_f = \sum c_j K_j$ .



10 / 99

我们也可以基于待定系数法和Taylor 展开来推导 R-K 格式.

我们假设 R-K 格式有 (1.4) 形式. 下面问题是如何确定系数  $\{a_i, b_{il}, c_i\}$ 由 Taylor 展开 (假设  $0 < h \ll 1$ ):

$$y(t_{n+1}) = y(t_n) + hy'(t_n) + \dots + \frac{h^p}{p!}y^{(p)}(t_n) + \mathcal{O}(h^{p+1}).$$

若令 
$$\phi(t, y(t); h) = \sum_{j=1}^{p} \frac{h^{j-1}}{j!} \frac{d^{j-1}f(t, y(t))}{dt^{j-1}}$$
,则有 
$$y(t_{n+1}) = y(t_n) + h\phi(t_n, y(t_n); h) + \mathcal{O}(h^{p+1}).$$

舍去高阶项便得到计算公式

(1.5) 
$$y_{n+1} = y_n + h\phi(t_n, y_n; h).$$



当然,上面 (1.5) 一般不使用,原因是其中包含 f 的高阶偏导数,这 些表达式不易计算.

但是我们可以通过比较 (1.4) 与 (1.5) 来确定系数  $\{a_i, b_{il}, c_i\}$ .

我们将 (1.4) 中的  $K_i$  也在  $(t_n, y_n)$  处做 Taylor 展开, 也能得到如下 形式

$$y_{n+1} = y_n + h\widetilde{\phi}(t_n, y_n; h).$$

其中  $\tilde{\phi}(t_n, y_n; h)$  也按照 h 的升幂次序排列, 其中的系数自然包含了  $\{a_i,b_i,c_i\}$ . 将之与 (1.5) 中的  $\phi$  关于 h 的相应幂次项的系数做比较, 令其相同便可求出  $\{a_i, b_{il}, c_i\}$ .



12/99

#### 例 1.1

m=1 即为最简单的 Euler 法:  $y_{n+1}=y_n+hf(t_n,y_n)$ .

m=2 时, 比较系数有  $c_1+c_2=1$ ,  $a_2c_2=\frac{1}{2}$ .

这自然有无穷多组解. 常用的有以下两种  $(f_n \equiv f(t_n, y_n))$ :

- 显式中点格式:  $c_1 = 0, c_2 = 1, a_2 = \frac{1}{2}$ , 即  $y_{n+1} = y_n + hf(t_n + \frac{h}{2}, y_n + \frac{h}{2}$  $\frac{h}{2}f_n$ ).
- ② 改进 Euler 法:  $c_1 = c_2 = \frac{1}{2}, a_2 = 1$ , 即  $y_{n+1} = y_n + \frac{h}{2}[f_n + f(t_n + t_n)]$  $[h, y_n + hf_n]$ .

m=4 时, 首先由显式要求及相容性有

$$a_1 = 0$$
,  $a_2 = b_{21}$ ,  $a_3 = b_{31} + b_{32}$ ,  $a_4 = b_{41} + b_{42} + b_{43}$ .



13 / 99

黄忠亿 (清华大学) 偏微分方程数值解法 北京,清华大学

再比较  $\phi$  与  $\widetilde{\phi}$  的系数 (利用了前面的公式) 有

$$\begin{split} \sum_{j=1}^4 c_j a_j^{l-1} &= \frac{1}{l}, l = 1, 2, 3, 4; \quad c_3 a_2 b_{32} + c_4 (b_{42} a_2 + b_{43} a_3) = \frac{1}{6}, \\ c_3 b_{32} a_2^2 + c_4 b_{43} a_3^2 &= \frac{1}{12}, \quad c_4 b_{43} a_2 b_{32} = \frac{1}{24}, \\ c_3 a_3 a_2 b_{32} + c_4 a_4 (b_{42} a_2 + b_{43} a_3) &= \frac{1}{8}. \end{split}$$

这显然也有无穷多组解. 取一组特殊值

$$\mathbf{a} = \left(0, \frac{1}{2}, \frac{1}{2}, 1\right), \quad \mathbf{c} = \left(\frac{1}{6}, \frac{1}{3}, \frac{1}{3}, \frac{1}{6}\right),$$

$$b_{21} = \frac{1}{2}, \ b_{31} = 0, \ b_{32} = \frac{1}{2}, \ b_{41} = 0 = b_{42}, \ b_{43} = 1.$$

此即经典 4 级 Runge-Kutta 方法.



当然我们也可以采用隐式的 Runge-Kutta 方法, 即用 f 在所有  $s_l$  上的值做插值来计算  $y(s_j) = y(t_n) + \int_{t_n}^{s_j} f(t, u(t)) dt$  中积分:

$$y(s_j) = y(t_n + a_j h) \approx y_n + h \sum_{l=1}^m b_{jl} f(s_l, y(s_l)),$$

代入  $K_j$  的表达式即有以下隐式 R-K 算法:

(1.6) 
$$\begin{cases} y_{n+1} = y_n + \sum_{j=1}^m c_j K_j, \\ K_j = f\left(t_n + ha_j, y_n + h\sum_{l=1}^m b_{jl} K_l\right), & j = 1, \dots, m. \end{cases}$$

显然隐式 R-K 格式的短处在于无法显式计算上面的  $K_j$ , 通常需要求解一个非线性方程组才能得到.

15/99

虽然我们也可以用待定系数法来得到隐式 R-K 格式, 以下我们仅从 数值积分角度来推导.

我们既然用隐式格式,自然希望格式的精度尽可能高,从而我们希 望数值积分公式的代数精度尽可能高. 这样一来我们应该采用 Gauss 型 求积公式来计算积分:

$$(1.7)y_{t_n+1} = y(t_n) + \int_{t_n}^{t_{n+1}} f(s, y(s)) ds \approx y_n + h \sum_{j=1}^m c_j K_j,$$

$$(1.8)y(s_j) = y(t_n) + \int_{t_n}^{s_j} f(s, y(s)) ds \approx y_n + h \sum_{l=1}^m b_{jl} K_l, \ 1 \le j \le m.$$

即  $s_1, \dots, s_m$  应该是在区间  $[t_n, t_{n+1}]$  上 m 次 Legendre 多项式零点.



有了高斯积分节点  $s_j$ , 由 (1.7) 积分公式应该具有 2m-1 阶代数精度, 可取  $f(t_n + \tau h) = (\tau h)^{l-1}, l = 1, \dots, m$  代入 (1.7) 即得

(1.9) 
$$\sum_{j=1}^{m} c_j a_j^{l-1} = \frac{1}{l}, \quad l = 1, \dots, m.$$

求解上述方程组便可得到  $c_j$ . 类似由 (1.8) 具有 2m-1 阶代数精度, 同样可得

(1.10) 
$$\sum_{i=1}^{m} b_{ij} a_j^{l-1} = \frac{1}{l} a_i^l, \quad l = 1, \dots, m; \ i = 1, \dots, m.$$

同样求解上述方程组便可得到  $b_{ij}$ .



即计算  $a_j, b_{ij}, c_j$  的步骤为:

- 求 [-1,1] 上 m 次 Legendre 多项式的零点  $\xi_j \Longrightarrow a_j = \frac{1+\xi_j}{2}$ ;
- ② 由 (1.9) 式计算出  $c_j$ ,  $j = 1, \dots, m$ ;
- ③ 对  $i = 1, \dots, m$  由 (1.10) 式计算出  $b_{ij}, j = 1, \dots, m$ .

#### 例 1.2

$$m=1$$
,  $P_1(t)=t\Longrightarrow a_1=\frac{1}{2}$ ,  $c_1=1$ ,  $b_{11}=\frac{1}{2}$ . 此即隐式中点格式: 
$$y_{n+1}=y_n+hf\left(t_n+\frac{h}{2},\frac{1}{2}(y_n+y_{n+1})\right).$$

$$m=2$$
,  $P_2(t)=\frac{3t^2-1}{2}\Longrightarrow$ 

$$a_{1,2} = \frac{1}{2} \pm \frac{\sqrt{3}}{6}, \quad c_{1,2} = \frac{1}{2}, \quad B = \begin{pmatrix} \frac{1}{4} & \frac{1}{4} - \frac{\sqrt{3}}{6} \\ \frac{1}{4} + \frac{\sqrt{3}}{6} & \frac{1}{4} \end{pmatrix}$$

黄忠亿 (清华大学) 北京, 清华大学 偏微分方程数值解法 北京, 清华大学

18 / 99

#### 定义 1.2

对于公式 
$$y_{n+1} = y_n + h\phi(t_n, y_n; h)$$
, 令 
$$R_n = L[y_n; h] = y(t_{n+1}) - y(t_n) - h\phi(t_n, y(t_n); h)$$

为单步法的局部截断误差,即假设之前函数值准确的前提下,用 该单步法计算一步产生的误差 (或者说用数值积分公式计算积分  $\int_{-t_n}^{t_{n+1}} f(s,y(s))ds$  带来的误差). 进一步的,令  $\varepsilon_n = y(t_n) - y_n$  (为近 似解与真解之间的误差) 称为整体截断误差.

#### 定义 1.3

如果  $h \to 0$  时差分格式收敛到常微方程, 则称格式与原问题相容, 一般如果整体截断误差为  $\varepsilon_n = \mathcal{O}(h^p)$ , 就称为p 阶相容格式.

黄忠亿 (清华大学) 偏微分方程数值解法 北京,清华大学 19 / 99

#### 例 1.3

对于 Euler 法, 利用 Taylor 展开  $R_n = \frac{h^2}{2}y''(\xi)$ , 其中  $\xi \in (t_n, t_{n+1})$ . 假设 y(t) 充分光滑, 即有局部截断误差为  $R_n = \mathcal{O}(h^2)$  二阶.

下面看如何得到整体截断误差? 由

$$y(t_{n+1}) = y(t_n) + hf(t_n, y(t_n)) + R_n,$$
  
 $y_{n+1} = y_n + hf(t_n, y_n),$ 

相减得到  $\varepsilon_{n+1} = \varepsilon_n + h[f(t_n, y(t_n)) - f(t_n, y_n)] + R_n$ .

由 f 关于 y 满足 Lipschitz 条件, 以及令  $R = \max_n |R_n| = \mathcal{O}(h^2)$ 

$$\implies |\varepsilon_{n+1}| \le |\varepsilon_n| + Lh|\varepsilon_n| + |R_n| \le (1 + Lh)|\varepsilon_n| + R \le \cdots$$

$$\leq (1+Lh)^{n+1}|\varepsilon_0| + R\sum_{j=0}^n (1+Lh)^j$$

偏微分方程数值解法 黄忠亿 (清华大学) 北京,清华大学 20 / 99

$$\implies |\varepsilon_{n+1}| \le (1+Lh)^{n+1}|\varepsilon_0| + R\frac{(1+Lh)^{n+1}-1}{Lh}. \quad \text{ $\vec{P}$ in } (1+\frac{x}{n})^n \le e^x$$

$$\implies (1+Lh)^{n+1} = \left(1+L\frac{T}{N}\right)^{n+1} \le \left(1+L\frac{T}{N}\right)^N \le e^{LT} \implies |\varepsilon_{n+1}| \le |\varepsilon_0|e^{LT} + \frac{R}{Lh}\left(e^{LT}-1\right).$$

设 
$$\varepsilon_0 = 0$$
, 由  $R = \mathcal{O}(h^2) \Longrightarrow \varepsilon_n = \mathcal{O}(h)$ . 即 Euler 法整体误差为一阶.

类似可以得到一般常用的  $m(\leq 4)$  级显式 Runge-Kutta 方法整体截断误差为 m 阶,

m 级隐式 Runge-Kutta 方法整体截断误差为 2m 阶.



但是实际上  $\varepsilon_0$  一般不为零,例如是测量数据的话可能包含测量误差, 如果是用其它方法计算得到的,也可能包含舍入误差等.这样我们需要 考虑此误差随计算过程的传递是否会带来恶性影响.

#### 定义 1.4

如果初值误差带来的影响可以被初始误差的某个常数倍控制, 则称 该方法对初值是稳定的.

对于线性问题,如果使用一个相容的、稳定的格式求解,离散解会 收敛到真解(在忽略每一步计算的舍入误差影响下). 稍后我们再考虑每 一步舍入误差带来的影响。



对于 Euler 法, 假设有不同初值 (或者相当于初值有扰动):

$$y_{n+1} = y_n + hf(t_n, y_n), \quad z_{n+1} = z_n + hf(t_n, z_n).$$

令  $e_n = y_n - z_n$ , 两式相减有  $e_{n+1} = e_n + h[f(t_n, y_n) - f(t_n, z_n)]$ , 利用 f 的 Lipschitz 连续性条件得到

$$|e_{n+1}| \le (1+Lh)|e_n| \le (1+Lh)^{n+1}|e_0| \le e^{LT}|e_0|.$$

即 Euler 法对初值是稳定的。

类似可证明其他 R-K 方法在此条件下也是对初值稳定的.



### Gronwall 不等式

#### 引理 1.1 (连续情形 Gronwall 不等式)

设  $\eta(t)$  对  $t \in [a,b]$  连续且满足:

$$\exists \alpha, \beta \ge 0, \forall t \in [a, b], \quad |\eta(t)| \le \beta + \alpha \int_a^t |\eta(\tau)| d\tau.$$

则有  $|\eta(t)| \leq \beta e^{\alpha(t-a)}, \forall t \in [a,b].$ 

□ 先设 
$$\beta > 0$$
. 令  $\xi(t) = \beta + \alpha \int_a^t |\eta(\tau)| d\tau \Longrightarrow |\eta(t)| \le \xi(t)$ . 且  $\xi'(t) = \alpha |\eta(t)| \le \alpha \xi(t)$ . 结合  $\xi(t) \ge \beta > 0 \Longrightarrow \frac{\xi'}{\xi} \le \alpha$  积分并利用  $\xi(a) = \beta$  即得  $|\eta(t)| \le \xi(t) \le \beta e^{\alpha(t-a)}$ 

对  $\beta = 0$  情形加一个摄动  $\varepsilon > 0$ :  $\beta_{\varepsilon} = \beta + \varepsilon > 0$  即可证明.  $\triangleright$ 



### 离散 Gronwall 不等式

#### 引理 1.2 (离散情形 Gronwall 不等式)

设  $\alpha, \beta > 0$ , T, h > 0, 序列  $\{\eta_n\}_{n>0}$  满足:

$$|\eta_n| \le \beta + \alpha h \sum_{j=0}^{n-1} |\eta_j|, \quad \forall n = k, k+1, \cdots, \exists nh \le T \text{ 成立},$$

则当  $n \geq k$  且  $nh \leq T$  时,有  $|\eta_n| \leq e^{\alpha nh}(\beta + \alpha khM_0)$ ,其中  $M_0 =$  $\max(|\eta_0|,\cdots,|\eta_{k-1}|).$ 

□ 将前面积分换成求和, 令 
$$\xi_n = \beta + \alpha h \sum_{j=0}^{n-1} |\eta_j|$$
,
有  $|\eta_n| \le \xi_n$ , 且  $\xi_n - \xi_{n-1} = \alpha h |\eta_{n-1}| \le \alpha h \xi_{n-1}$ 

$$\Longrightarrow \xi_n \le (1 + \alpha h) \xi_{n-1} \le (1 + \alpha h)^{n-k} \xi_k.$$
又  $\xi_k = \beta + \alpha h \sum_{j=0}^{k-1} |\eta_j| \le \beta + \alpha h k M_0$ ,
且  $(1 + \alpha h)^{n-k} < (1 + \alpha h)^n < e^{\alpha n h}$ . 代入上面即得. ▷



### 1 常微分方程数值解

- 一阶常微方程初值问题的差分方法
- 常微方程初值问题的多步法
- 常微方程差分方法的绝对稳定性与相对稳定性
- 刚性常微分方程组的差分方法
- Hamilton 系统的辛几何算法





从单步法的构造中我们可以看到,每一步我们需要通过插值来计算  $K_j$  ( $\approx f(s_j,y(s_j))$ ). 当我们已经获得了多个节点的值  $y_j$  ( $j=1,2,\cdots,k-1$ ) 之后,我们可以尝试利用这些现成的函数值来做插值,而不需要再引入新的节点  $s_j$ . 这就是多步法,相当于之前的增量函数取成

$$\phi_f = \sum_{j=0} \beta_j f(t_{n+j}, y_{n+j}),$$

即线性多步法为

(1.11) 
$$\sum_{j=0}^{k} \alpha_j y_{n+j} = h \sum_{j=0}^{k} \beta_j f(t_{n+j}, y_{n+j}).$$

这里一般设  $\alpha_k \neq 0$ . 如果  $\beta_k = 0$ , 为显式格式; 反之若  $\beta_k \neq 0$ , 则为隐式格式.



### 线性多步法

类似于前面单步法, 我们也可令

$$L[y(t_n);h] = \sum_{j=0}^k \left[ \alpha_j y(t_{n+j}) - h\beta_j f \left( t_{n+j}, y(t_{n+j}) \right) \right]$$
 为多步法 (1.11) 的局部截断误差. 将之在  $t_n$  做 Taylor 展开, 写成

$$L[y(t_n); h] = c_0 y(t_n) + c_1 h y'(t_n) + \dots + c_p h^p y^{(p)}(t_n) + \dots$$

易得

(1.12) 
$$\begin{cases} c_0 = \alpha_0 + \alpha_1 + \dots + \alpha_k \\ c_1 = \alpha_1 + 2\alpha_2 + \dots + k\alpha_k - (\beta_0 + \beta_1 + \dots + \beta_k) \\ \vdots \\ c_p = \frac{\alpha_1 + 2^p \alpha_2 + \dots + k^p \alpha_k}{p!} - \frac{\beta_1 + 2^{p-1} \beta_2 + \dots + k^{p-1} \beta_k}{(p-1)!} \\ \vdots \end{cases}$$



### 线性多步法

若(1.12)中  $c_0 = \cdots = c_p = 0$ ,  $c_{p+1} \neq 0$ , 则称多步法 (1.11) 是 p 阶 方法, 局部截断误差为  $L[y(t_n); h] = c_{p+1}h^{p+1}y^{(p+1)}(\xi_n)$ .

一般取  $\alpha_k = 1$ , 如果在 (1.12) 中令  $c_0 = c_1 = \cdots = c_n = 0$ , 而且恰 好 p+1=2k+1, 则可解出  $\alpha_0,\dots,\alpha_{k-1}$  和  $\beta_0,\dots,\beta_k$ . 这样就是用待 定系数法来确定 (1.11) 中的系数。

当然也可以用数值积分办法来推导. 例如,由公式

$$y(t_{n+k}) = y(t_{n+k-1}) + \int_{t_{n+k-1}}^{t_{n+k}} f(t, y(t)) dt,$$

如果利用 f 在  $t_{n+k-1}, \dots, t_n$  上的值构造一个 k-1 阶插值多项式  $L_{k-1}(t)$  来代替 f 求积分, 便得到 Adams 外插法格式:



### Adams 多步法

(1.13) 
$$y_{n+k} = y_{n+k-1} + h \sum_{j=0}^{k-1} \beta_j f_{n+j}.$$

这称为显式 Adams 格式 (外插法).

如果利用 f 在  $t_{n+k}, \dots, t_n$  上的值构造一个 k 阶插值多项式  $\widetilde{L}_k(t)$ 来代替 f 求积分,便得到 Adams 内插法格式:

(1.14) 
$$y_{n+k} = y_{n+k-1} + h \sum_{j=0}^{k} \widetilde{\beta}_j f_{n+j}.$$

这称为隐式 Adams 格式 (内插法).

类似地也可以得到其他形式的线性多步法.



30 / 99

黄忠亿 (清华大学) 偏微分方程数值解法 北京,清华大学

由前面局部截断误差的定义,可以说,如果

$$L[y(t_n); h] = \sum_{j=0}^{k} [\alpha_j y(t_{n+j}) - h\beta_j f(t_{n+j}, y(t_{n+j}))] = c_{p+1} h^{p+1} y^{(p+1)}(\xi_n),$$

则称多步法 (1.11) 与原初值问题是p 阶相容的.

如果引入多步法 (1.11) 的第一、第二特征多项式:

(1.15) 
$$\rho(\lambda) = \sum_{j=0}^{k} \alpha_j \lambda^j, \quad \sigma(\lambda) = \sum_{j=0}^{k} \beta_j \lambda^j.$$

 $\oplus h \to 0$  时, 若

$$\frac{1}{h\rho'(1)} \sum_{j=0}^{k} [\alpha_j y(t_{n+j}) - h\beta_j f(t_{n+j}, y(t_{n+j}))] - [y'(t_n) - f(t_n, y(t_n))] = o(1),$$

即差分方程收敛到原微分方程,则称(1.11)与(1.1)相容.



31 / 99

黄忠亿 (清华大学) 偏微分方程数值解法 北京,清华大学

可以验证 (将  $y_{t_n+j}$ ,  $f(t_{n+j}, y_{t_n+j})$  在  $t_n$  处 Taylor 展开):

多步法 (1.11) 与 (1.1) 相容 
$$\iff \rho(1) = 0$$
, 且 $\rho'(1) = \sigma(1)$ .

下面我们来看其对初值的稳定性.

#### 定义 1.5

称多步法 (1.11) 是对初值稳定的, 是指若存在不依赖于 h 的常数 C及  $h_0, \varepsilon > 0$ , s.t.  $\forall h \in (0, h_0)$  及任取两组不同初值得到的解  $\{u_n\}_{n=0}^N$  和

$$\{u_n\}_{n=0}^N$$
, 当  $\max_{0 \le j \le k-1} |u_j - v_j| < \varepsilon$  时, 就有

(1.16) 
$$\max_{nh \le T} |u_n - v_n| \le C \max_{0 \le j \le k-1} |u_j - v_j|.$$

换句话说,只要步长充分小,多步法的解可以连续依赖于初值,

黄忠亿 (清华大学) 偏微分方程数值解法 北京, 清华大学

32 / 99

那么多步法 (1.11) 什么时候具有对初值的稳定性呢?

#### 定理 1.1 (多步法对初值稳定的充要条件)

多步法 (1.11) 对初值稳定  $\iff$  第一特征多项式  $\rho(\lambda)$  满足所谓的根条件:  $\rho(\lambda)$  的根都在单位圆内, 且在单位圆周上的根全为单根.

先证明  $\rho(\lambda)$  的根都在单位圆内. 用反证法, 假设  $\rho(\lambda) = 0$  有一解  $\mu$ 

*s.t.*  $|\mu| > 1$ . 考虑如下两组初值:

$$u_j = \delta \mu^j$$
,  
 $v_j = 0$ ,  $0 \le j \le k - 1$ , 这里 $\delta > 0$  为待定常数

显然有如果用 (1.11) 计算, 有其解为:

$$u_n = \delta \mu^n$$
,  $v_n \equiv 0$ ,  $n = 0, 1, \cdots$ 



33 / 99

这样尽管初始误差  $\max_{0 \leq j < k} |u_j - v_j| = \delta |\mu|^{k-1}$  可以很小,但是当  $h \to \infty$ 

 $0, nh \le T$  时, 会有  $n \to +\infty$ , 因而  $|u_n - v_n| = \delta |\mu|^n \to +\infty$ .

显然此时不稳定,与前提矛盾,因此  $\rho(\lambda)$  不会有模大于 1 的根.

再证单位圆周上只能有单根: 依然用反证法, 假设  $\rho(\lambda)$  有重根  $\mu \in \mathbb{C}$ 

s.t. 
$$|\mu| = 1 \perp \rho(\mu) = \rho'(\mu) = 0$$
.

此时考虑如下初值选取:

$$\begin{array}{rcl} u_j &=& \delta j \mu^j, \\ v_j &=& 0, \end{array}$$
  $0 \leq j \leq k-1, \quad$  这里 $\delta > 0$  为常数

易见如果用 (1.11) 计算, 有其解为:

$$u_n = \delta n \mu^n$$
,  $v_n \equiv 0$ ,  $n = 0, 1, \cdots$ 



北京、清华大学

这样仍然有初始误差  $\max_{0 \le i \le k} |u_j - v_j| = \delta(k-1)|\mu|^{k-1} = \delta(k-1)$  可以足 够小, 但  $|u_n - v_n| = \delta n \to +\infty$ , 当  $n \to +\infty$ . 与稳定性矛盾.

因此上面我们证明了: 如果多步法 (1.11) 对初值稳定, 必然有  $\rho(\lambda)$ 满足根条件.

下面看充分性:" $\longleftarrow$ ", 即假设  $\rho(\lambda)$  满足根条件, 欲证明对初值的稳 定性. 要证明这个, 我们先要把差分方程的解结构弄清楚.

先看齐次差分方程:  $\alpha_k y_{n+k} + \cdots + \alpha_0 y_n = 0$ . 其通解可以写成

其中  $\xi_i$  为  $\rho(\lambda) = 0$  的  $r_i$  重根, 且  $\sum_{i=1}^J r_i = k$ .



35 / 99

黄忠亿 (清华大学) 偏微分方程数值解法 北京, 清华大学

对于非齐次差分方程:  $\alpha_k z_{n+k} + \cdots + \alpha_0 z_n = \gamma_{n+k}$ , 给了初值  $\{z_0, \cdots, z_k\}$ 后的解为 (设  $\alpha_k \neq 0$ )

(1.18) 
$$z_n = \sum_{j=0}^{k-1} z_j Y_n^{(j)} + \frac{1}{\alpha_k} \sum_{j=0}^{n-k} \gamma_{j+k} Y_{n-j-1}^{(k-1)}, \quad n = k, k+1, \dots$$

这里 
$$\{Y_n^{(j)}\}$$
 是齐次差分方程  $\left\{ \begin{array}{l} \sum_{l=0}^k \alpha_l Y_{n+l}^{(j)} = 0, \\ Y_i^{(j)} = \delta_{ij}, \quad 0 \le i < k; \end{array} \right.$  的解.

设  $u_n, v_n$  为用 (1.11) 式计算的任两组解, 令  $\varepsilon_n = u_n - v_n$ , 有

$$\sum_{j=0}^{k} \alpha_{j} \varepsilon_{n+j} = \gamma_{n+k} \equiv h \sum_{j=0}^{k} \beta_{j} [f(t_{n+j}, u_{n+j}) - f(t_{n+j}, v_{n+j})].$$

由前面结果知其解为:  $\varepsilon_n = \sum_{i=0}^k \varepsilon_j Y_n^{(j)} + \frac{1}{\alpha_k} \sum_{i=0}^{n-k} \gamma_{j+k} Y_{n-i-1}^{(k-1)}$ .



黄忠亿 (清华大学) 偏微分方程数值解法 北京, 清华大学 36 / 99

# 线性多步法的相容性与稳定性

由于  $\rho(\lambda)$  满足根条件,即  $|\xi_i| \leq 1$ ,且若  $|\xi_j| = 1$  必有  $r_j = 1$ .

 $\implies \exists C > 0$ , s.t.  $|Y_n| \leq C$ , (当  $nh \leq T$ ) 即齐次方程的解总有界.

$$\Longrightarrow |\varepsilon_n| \le C \left( \sum_{j=0}^{k-1} |\varepsilon_j| + \frac{1}{|\alpha_k|} \sum_{j=0}^{n-k} |\gamma_{j+k}| \right), \stackrel{\text{def}}{=} n \ge k.$$

令  $M_0 = \max_{0 \le i \le k} |\varepsilon_j|$ , 再利用 f(t,y) 关于 y 满足 Lipschitz 连续性得

$$|\varepsilon_n| \le C \left( kM_0 + \frac{hL}{|\alpha_k|} \sum_{j=0}^{n-k} \sum_{l=0}^k |\beta_l| |\varepsilon_{l+j}| \right)$$

再令 
$$B_0 = \frac{(k+1)L}{|\alpha_k|} \max_{0 \le l \le k} |\beta_l|$$
,有

$$|\varepsilon_n| \le CkM_0 + hB_0 \sum_{j=0}^n |\varepsilon_j|.$$



# 线性多步法的相容性与稳定性

显然当 h 充分小时, 可以有

$$|\varepsilon_n| \le CkM_0 + h\widetilde{C}\sum_{j=0}^{n-1} |\varepsilon_j|.$$

从而由离散 Gronwall 不等式 (引理 1.2)

$$\Longrightarrow |\varepsilon_n| \le e^{\widetilde{C}t} \left( CkM_0 + \widetilde{C}khM_0 \right), \quad n \ge k, \ nh \le T.$$

即证明了格式对初值的稳定性。

由上面定理, 如果 (1.11) 满足相容性以及根条件, 且  $h \to 0$  时, 假设 初值误差  $\rightarrow 0$ , 则  $t_0 + nh \rightarrow t$  时, 有  $y_n = y(t_0 + nh) \rightarrow y(t)$ , 即有离散 解的收敛性.



# 线性多步法的相容性与稳定性

#### 例 1.4

考虑初值问题 
$$\begin{cases} y'(t)\!=\!4t\sqrt{y},\ 0\!\leq\!t\!\leq\!1,\\ y(0)=1; \end{cases}$$
 其解为  $y(t)=(1+t^2)^2.$ 

用多步法:  $y_{n+2} - (1+a)y_{n+1} + ay_n = \frac{h}{2}[(3-a)f_{n+1} - (1+a)f_n],$ 可以检验  $c_0 = c_1 = c_2 = 0$ ,  $c_3 = \frac{a+5}{12}$ . 又由其第一特征多项式  $\rho(\lambda) =$  $\lambda^2 - (1+a)\lambda + a = (\lambda - 1)(\lambda - a)$  的根为  $\lambda_1 = 1, \lambda_2 = a$ .

我们知道 a = -5 时,该方法为<mark>不稳定</mark>三阶格式:  $a \neq -5$ (例如取a = 0) 为二阶稳定格式. 假如取 a = -5, h = 0.1, 可得  $t \quad 0 \quad 0.1 \quad 0.2 \quad \cdots \quad 0.7 \quad 0.8 \quad 0.9 \quad 1.0$ y(t) 1 1.0201 1.0816 ··· 2.2201 2.6896 3.2761 4.0000  $y_n$  1 1.0201 1.0812 ··· 2.9130 -0.6026

黄忠亿 (清华大学) 偏微分方程数值解法 北京,清华大学

39 / 99

## 目录

- 1 常微分方程数值解
  - 一阶常微方程初值问题的差分方法
  - 常微方程初值问题的多步法
  - 常微方程差分方法的绝对稳定性与相对稳定性
  - 刚性常微分方程组的差分方法
  - Hamilton 系统的辛几何算法





前面我们一直没有考虑每一步计算中舍入误差带来的影响, 但这事 实上是无法避免的.

考虑如下一般形式的差分法:

(1.19) 
$$\sum_{j=0}^{k} \alpha_j y_{n+j} = h \phi_f(t_n; y_n, \dots, y_{n+k}; h).$$

实际计算时,由于舍入误差的影响,实际计算式为

(1.20) 
$$\sum_{j=0}^{\kappa} \alpha_j \bar{y}_{n+j} = h \phi_f(t_n; \bar{y}_n, \cdots, \bar{y}_{n+k}; h) + \delta_{n+k}.$$

其中  $\delta_{n+k}$  表示每步计算带来的舍入误差影响.

通常可以认为  $\delta_1$  是可以控制的, 可以足够小.



41 / 99

黄忠亿 (清华大学) 偏微分方程数值解法 北京,清华大学

虽然我们前面估计了  $y_n$  与  $y(t_n)$  之间的截断误差, 但是还需  $|\bar{y}_n - y_n|$  充分小, 才能有实际计算精度足够高.

令 
$$e_n = \bar{y}_n - y_n$$
, 有
$$\sum_{i=0}^k \alpha_j e_{n+j} = h[\phi_f(t_n; \bar{y}_n, \dots, \bar{y}_{n+k}; h) - \phi_f(t_n; y_n, \dots, y_{n+k}; h)] + \delta_{n+k}.$$

若 f 是一个比较复杂的函数,显然不好估计舍入误差的增长情况. 因此一般我们只在假设 f(t,y) 仅是 y 的线性函数情况下讨论. 即以下假设 (1.21)  $f(t,y) = \mu y, \quad \mu \in \mathbb{C}$  为一个常数.

可以将  $\mu$  看成  $\frac{\partial f}{\partial y}(t,y)$  的近似.



北京, 清华大学

自然,若 
$$f \equiv \mu y$$
,问题 
$$\begin{cases} y'(t) = \mu y, \\ y(0) = y_0; \end{cases}$$
 的解为  $y(t) = y_0 e^{\mu t}.$ 

用多步法 (1.11) 来求解 (单步法(1.2)可看成 k=1 的特例):

(1.22) 
$$\sum_{j=0}^{k} (\alpha_j - \bar{h}\beta_j) y_{n+j} = 0,$$

其中  $h = \mu h$ . 若令  $\gamma_i(\bar{h}) = \alpha_i - \bar{h}\beta_i$ , 有

$$(1.23) \qquad \sum_{j=0}^{k} \gamma_j e_{n+j} = \delta_{n+k}.$$

引入向量形式记号 (假设  $\gamma_k = \alpha_k - \bar{h}\beta_k \neq 0$ )

$$\vec{E}_n = (e_{n+k-1}, e_{n+k-2}, \cdots, e_n)^T, \ \vec{\eta}_n = (\gamma_k^{-1} \delta_{n+k}, 0, \cdots, 0)^T \in \mathbb{R}^k,$$



北京,清华大学

再令矩阵 
$$A=\left( egin{array}{cccc} -\gamma_k^{-1}\gamma_{k-1} & -\gamma_k^{-1}\gamma_{k-2} & \cdots & -\gamma_k^{-1}\gamma_0 \\ 1 & 0 & \cdots & 0 \\ & \ddots & \ddots & \vdots \\ 0 & & \ddots & 0 \end{array} \right),$$
 得到以下矩

阵形式的误差传递式:

$$(1.24) \qquad \overrightarrow{E}_{n+1} = A \overrightarrow{E}_n + \overrightarrow{\eta}_n.$$

这样其解为

(1.25) 
$$\overrightarrow{E}_{n+1} = A^n \overrightarrow{E}_0 + \sum_{j=0}^{n-1} A^{n-j-1} \overrightarrow{\eta}_j, \quad n = 1, 2, \cdots$$

一般可以假设  $\parallel \overset{\rightharpoonup}{E}_0 \parallel$ ,  $\parallel \overset{\rightharpoonup}{\eta}_j \parallel$  可以充分小 (取决于计算机字长).



44 / 99

黄忠亿 (清华大学) 偏微分方程数值解法 北京,清华大学

# 绝对稳定性

但要想保证  $\parallel E_n \parallel$  有界 (注意  $h \to 0$  时,  $nh \le T$  会有  $n \to +\infty$ ), 需要  $||A^n|| \to 0$  才行. 即需要 A 的谱半径 < 1. 由矩阵 A 的表达式易得其特 征方程为

(1.26) 
$$\rho(\lambda) - \bar{h}\sigma(\lambda) = 0.$$

这样,要保证 ||E|| 有界,即需要上面方程的根的模均小于 1.

### 定义 1.6 (绝对稳定性)

称线性多步法(1.11)关于  $\bar{h} = \mu h$  是绝对稳定的,是指上述特征方程 (1.26) 的根均在单位圆周内, 即  $\lambda_{j}(\bar{h}) < 1, j = 1, \dots, k$ .

如果在复平面上存在区域 D s.t.  $\forall \bar{h} \in D$ , 多步法 (1.11) 都关于该  $\bar{h}$ 绝对稳定, 则称 D 为该方法的绝对稳定域.

由于  $e_n$  与  $y_n$  满足同样形式的差分方程, 故而有以下定理.



# 绝对稳定性

### 定理 1.2 (绝对稳定的必要条件)

若 (1.11) 是相容且对初值稳定的格式, 且当  $h \to 0$  时关于  $\bar{h} = \mu h$ 绝对稳定, 则必有  $Re(\mu) < 0$  (即 y(t) 本身是指数衰减的).

□ 如果格式相容且对初值稳定, 那么  $y_n \to y(t_n)$ , 当  $h \to 0$ .

而  $y_n$  与  $e_n$  满足的差分方程相同, 如果格式关于  $h = \mu h$  绝对稳定, 那 么特征值方程的根模都小于 1. 由前面差分方程解的表达式知, (参看定 理 1.1 中的公式 (1.17)-(1.18)) 应该有  $y_n, e_n \to 0$ , 当  $n \to +\infty$ . 再由  $y(t) = y(0)e^{\mu t}$ , 立刻有  $Re(\mu) < 0$ .  $\triangleright$ 

对单步法可类似定义绝对稳定性: 也设  $f(t,y) = \mu y$ , 这样有

$$y_{n+1} = y_n + h\phi_f(t_n, y_n; h) \equiv E(\bar{h})y_n.$$

即特征方程就是  $\lambda - E(\bar{h}) = 0$ . 故绝对稳定条件就是  $|E(\bar{h})| < 1$ .



偏微分方程数值解法 黄忠亿 (清华大学) 北京, 清华大学 46 / 99

# 显式 R-K 方法的绝对稳定性

## 例 1.5 (考虑二阶显式 R-K 格式)

$$\begin{cases} y_{n+1} = y_n + \frac{h}{2}(K_1 + K_2), \\ K_1 = f_n, \quad K_2 = f(t_{n+1}, y_n + hK_1). \end{cases}$$

应用于试验方程  $f \equiv \mu y$ , 得到  $( \hat{\mathbf{q}} \bar{h} = \mu h )$ :

$$y_{n+1} = y_n + \bar{h} \left( 1 + \frac{\bar{h}}{2} \right) y_n \equiv \left( 1 + \bar{h} + \frac{\bar{h}^2}{2} \right) y_n.$$

特征方程:  $\lambda-\left(1+\bar{h}+\frac{\bar{h}^2}{2}\right)=0$ , 稳定性条件为:  $|1+\bar{h}+\frac{\bar{h}^2}{2}|<1$ . 可以用边界轨迹法来确定稳定区域  $D\subset\mathbb{C}$ :

令  $\lambda = e^{i\theta}$  代入上面特征方程 (D 的边界点对应模为 1 的根):

$$1 + \bar{h} + \frac{\bar{h}^2}{2} - e^{i\theta} = 0 \Longrightarrow \bar{h} = -1 \pm \sqrt{2e^{i\theta} - 1}.$$

48 / 99

## 隐式 R-K 方法的绝对稳定性

## 例 1.6 (类似地考虑二阶隐式 R-K 格式)

$$y_{n+1} = y_n + hf\left(t_n + \frac{h}{2}, \frac{y_n + y_{n+1}}{2}\right),$$

令  $f \equiv \mu y$ , 得到 (令 $\bar{h} = \mu h$ ):

$$y_{n+1} = y_n + \bar{h} \frac{y_n + y_{n+1}}{2} \Longrightarrow y_{n+1} = \frac{1 + \bar{h}/2}{1 - \bar{h}/2} y_n.$$

特征方程为: 
$$\lambda - \frac{1 + \bar{h}/2}{1 - \bar{h}/2} = 0$$
, 即要求:  $\left| \frac{1 + \bar{h}/2}{1 - \bar{h}/2} \right| < 1$ .

易见其等价于  $Re(\bar{h}) < 0$ .

即隐式二阶 R-K 方法的绝对稳定域包含了整个左半复平面!

可类似地证明其他各阶隐式 *R-K* 方法的绝对稳定域都包含了左半复平面! 我们称这样的格式为*A-*稳定方法.

# 多步法的绝对稳定性

## 例 1.7 (考虑以下隐式格式-Milne 方法)

$$y_{n+1} = y_n + \frac{h}{3} (f_{n+2} + 4f_{n+1} + f_n).$$

可以证明这是精度最高的二步法, 为二步四阶隐式格式, 同样考虑  $f = \mu y$ , 其特征方程为

$$0 = \rho(\lambda) - \bar{h}\sigma(\lambda) = \lambda^2 - 1 - \frac{\bar{h}}{3}(\lambda^2 + 4\lambda + 1)$$
$$= \left(1 - \frac{\bar{h}}{3}\right)\lambda^2 - \frac{4\bar{h}}{3}\lambda - \left(1 + \frac{\bar{h}}{3}\right).$$

自然有两个根  $\lambda_{\pm} = \frac{2\bar{h} \pm \sqrt{3\bar{h}^2 + 9}}{3-\bar{h}}$ . 当  $h \to 0$  时,

$$\lambda_{\pm}(\bar{h}) = \frac{2\bar{h}}{3} + \frac{2\bar{h}^2}{9} + \mathcal{O}(\bar{h}^3) \pm \left(1 + \frac{\bar{h}}{3} + \frac{5\bar{h}^2}{18} + \mathcal{O}(\bar{h}^3)\right).$$

当  $Re(\mu) < 0$ ,  $h \ll 1$  时, 就有  $Re(\lambda_{-}) < -1$ , 即  $|\lambda_{-}| > 1$ .

这说明无论 h 多小, 总有  $|\lambda_{-}| > 1$ . 即 Milne 方法为 "绝对不稳定".

黄忠亿 (清华大学) 偏微分方程数值解法 北京, 清华大学

前面我们已经说过 (cf. 定理 1.2), 只能在  $Re(\mu) < 0$  时考虑格式的 绝对稳定性. 那么如果  $Re(\mu) \geq 0$ , 此时什么样的算法是可以接受的呢? 仍考虑试验方程:

$$\begin{cases} y'(t) = \mu y, \\ y(0) = y_0; \end{cases} \implies y(t) = y_0 e^{\mu t}.$$

 $\begin{cases} y'(t) = \mu y, \\ y(0) = y_0; \end{cases} \Longrightarrow y(t) = y_0 e^{\mu t}.$ 及多步法  $\sum_{j=0}^k \alpha_j y_{n+j} = h \sum_{j=0}^k \beta_j f_{n+j}$ . 设其为相容、对初值稳定的. 也就

是说,  $\rho(1) = 0$ ,  $\rho'(1) = \sigma(1)$ , 且  $\rho(\lambda) = 0$  的根均在单位圆内,

且单位圆周上为单根. 由此也说明  $\lambda_1 = 1$  是  $\rho(\lambda) = 0$  的单根.

假设该方法为 p 阶, 即局部截断误差为  $c_{p+1}h^{p+1}y^{(p+1)}(\xi_n)$ .

也就是有 
$$L[y(t_n); h] = \sum_{j=0}^k (\alpha_j - \bar{h}\beta_j)y(t_{n+j}) = \mathcal{O}(h^{p+1}).$$



50 / 99

偏微分方程数值解法 黄忠亿 (清华大学) 北京,清华大学

曲 
$$y(t_j) = y_0 e^{\mu j h} = y_0 (e^{\bar{h}})^j \Longrightarrow y_0 e^{n\bar{h}} \sum_{j=0}^k (\alpha_j - \bar{h}\beta_j) (e^{\bar{h}})^j = \mathcal{O}(h^{p+1}).$$
 结合

其特征方程:  $\rho(\lambda) - \bar{h}\sigma(\lambda) = 0$ , 我们知道特征方程必有一根

$$\lambda_1(\bar{h}) = e^{\bar{h}} + \mathcal{O}(h^{p+1}).$$

 $h \to 0$  时, 即有  $\lambda_1(\bar{h}) \to \lambda_1 = 1$ .

再考虑舍入误差的方程  $\sum_{j=0}^{k} (\alpha_j - \bar{h}\beta_j)e_{n+j} = \delta_{n+k}$ .

结合差分方程解的表达式我们知道,  $e_n$  的表达式中必有一项

$$C \cdot \lambda_1^n(\bar{h}) = C \cdot e^{n\bar{h}} + \mathcal{O}(h^{p+1}) = C \cdot e^{\mu t_n} + \mathcal{O}(h^{p+1}).$$

也就是说  $e_n = C \cdot e^{\mu t_n} + \mathcal{O}(h^{p+1}) + \cdots$ 

对比 y(t) 的表达式我们知道,  $e_n$  的增长性至少与  $y(t_n)$  相同.



黄忠亿 (清华大学) 偏微分方程数值解法 北京, 清华大学 51 / 99

假设上面解  $e_n$  的表达式中  $\lambda_1^n(\bar{h})$  为主项, 其他项为该项的高阶小量 (当  $h \to 0$ ),即  $|\lambda_1(\bar{h})| > |\lambda_j(\bar{h})|$ , $j = 2, \cdots, k$ . 这时可以认为舍入误差 带来的影响的增长率至多与真实解同阶. 此时可以认为计算结果是可接受的. 这样引入了另一种稳定性概念:

### 定义 1.7 (相对稳定性)

称多步法(1.11)对给定的  $\bar{h}$  是相对稳定的, 是指若特征方程 (1.26) 的 根满足  $\lambda_1(\bar{h}) = e^{\bar{h}} + \mathcal{O}(h^{p+1})$  (自然有 $\lambda_1(0) = 1$ ), 且  $|\lambda_1(\bar{h})| > |\lambda_j(\bar{h})|$ ,  $j = 2, \cdots, k$ .

否则就称该方法对于  $\bar{h}$  不是相对稳定的.

如果在复平面上存在区域 D s.t.  $\forall \bar{h} \in D$ , 多步法 (1.11) 都关于该  $\bar{h}$  相对稳定,则称 D 为该方法的相对稳定域.

## 例 1.8 (考虑以下两步法)

$$y_{n+2} - (1+a)y_{n+1} + ay_n = \frac{h}{12}[(5+a)f_{n+2} + 8(1-a)f_{n+1} - (1+5a)f_n]$$

假设  $-1 \le a \le 1$ . 显然, 当  $a \ne -1$  时, 上式为三阶方法; a = -1 时

为Milne方法, 其特征多项式为

$$\rho(\lambda) - \bar{h}\sigma(\lambda) = \left[1 - \frac{\bar{h}(5+a)}{12}\right]\lambda^2 - \left[(1+a) + \frac{2\bar{h}}{3}(1-a)\right]\lambda + a + \frac{\bar{h}}{12}(1+5a)$$

简单起见, 仅考虑  $\mu \in \mathbb{R}$  情形. 可得

其绝对稳定域为 
$$\left(6\frac{a+1}{a-1},0\right)$$
. 其相对稳定域为  $\left(\frac{3(a+1)}{2(a-1)},+\infty\right)$ .

例如取 a = 0, 来求解  $\begin{cases} y' = -100y, & 0 \le t \le 1, \\ y(0) = 1; \end{cases} \implies y(t) = e^{-100t}.$ 

偏微分方程数值解法

要使方法绝对稳定, 需要 -6 < -100h < 0, 即 h < 0.06.

要使方法相对稳定, 需要  $-\frac{3}{2} < -100h < +\infty$ , 即 h < 0.015.

取 h = 0.01, 0.02, 0.1 分别计算:

$$h = 0.1$$
  $y_2 = 0.1612$   $y_3 = -0.1768$   $y_4 = 0.2200$   $y_5 = -0.2698$  · · · · 从上面  $y(t_n)$  2.06 $E - 9$  0 0 · · ·

54 / 99

可以看出 h < 0.015 时,相对误差会减少; h < 0.06 时,绝对误差会减少; h > 0.06 后绝对误差会扩大.

## 1 常微分方程数值解

- 一阶常微方程初值问题的差分方法
- 常微方程初值问题的多步法
- 常微方程差分方法的绝对稳定性与相对稳定性
- 刚性常微分方程组的差分方法
- Hamilton 系统的辛几何算法





许多物理、化学或生物过程都可以用常微分方程来描述. 它们往往 包含不同的子过程. 有的表现为快过程,有的为慢过程. 变化速度可以 相差很大的数量级. 相应的描述这些过程的常微方程的解也包含快变分 量和慢变分量. 如果这些分量变化速度相差很大,通常称这种常微方程 (组) 为刚性方程(组).

#### 例 1.9

黄忠亿 (清华大学)

考虑问题: 
$$\begin{cases} \frac{du}{dt} &= -2000u + 999.75v + 1000.25\\ \frac{dv}{dt} &= u - v\\ u(0) &= 0, \quad v(0) = -2. \end{cases}$$
 其解为 
$$\begin{cases} u(t) = -1.499875e^{-\frac{t}{2}} + 0.499875e^{-2000.5t} + 1,\\ v(t) = -2.99975e^{-\frac{t}{2}} - 0.00025e^{-2000.5t} + 1. \end{cases}$$

偏微分方程数值解法

北京,清华大学

56 / 99

从上面解的表达式中看到  $e^{-0.5t}$  为慢变分量,  $e^{-2000.5t}$  为快变分量. 我们称这两部分的线性组合为渐态解, 常数项部分称为稳态解  $(t \to +\infty)$ 的解). 显然上述两项趋于零的速度差别太大. 如 t=0.005 时,已有  $e^{-2000.5t} \approx 0$ , 而此时  $e^{-0.5t} \approx 1$ . 要到 t = 20 才会有  $e^{-0.5t} \approx 0$ . 其变化 速度差异可用  $\frac{-2000.5}{-0.5} = 4001 \gg 1$  来描述.

一般来说我们需要计算到接近稳态解的时间, 即  $T \approx 20$ . 若使用显 式 R-K 格式 (如四级四阶 R-K 方法), 步长需要满足绝对稳定性条件:

$$-2000.5h > -2.78 \Longrightarrow h < 0.0013 \cdots$$

计算到 T=20 需要很多步, 计算量大月会带来较大舍入误差.

因此我们需要用稳定性更好的方法来计算此类刚性问题.



57 / 99

黄忠亿 (清华大学) 偏微分方程数值解法 北京, 清华大学

考虑如下常微方程组:

(1.27) 
$$\begin{cases} \frac{d\mathbf{y}(t)}{dt} = A\mathbf{y}(t) + \mathbf{f}(t), & t \in [0, T], \\ \mathbf{y}(0) = \mathbf{y}_0. \end{cases}$$

其中  $A \in \mathbb{R}^{m \times m}$ ,  $\mathbf{y}, \mathbf{y}_0, \mathbf{f} \in \mathbb{R}^m$ . 假设 A 的特征值为  $\lambda_i = \alpha_i + i\beta_i$ , 对应 的特征向量为  $\xi_i \in \mathbb{C}^m$ ,  $j=1,\cdots,m$ . 则(1.27)的通解可写成

$$\mathbf{y}(t) = \sum_{j=1}^{m} c_j e^{\lambda_j t} \xi_j + \underline{\psi(t)}.$$

#### 齐次方程通解 非齐次方程特解

常数  $c_j \in \mathbb{C}$  可以由初值定出. 称  $\tau_j = -\frac{1}{\alpha_j}$  为(松弛) 时间常数. 我们这里 考虑稳态情形, 即  $Re(\lambda_j) < 0$ , 这样  $t \to \infty$ ,  $\mathbf{y}(t) \to \psi(t)$ .

偏微分方程数值解法 黄忠亿 (清华大学) 北京, 清华大学

### 定义 1.8 (刚性方程组及刚性比)

若 (1.27) 中 A 的特征值  $\lambda_i$  满足

**1** 
$$Re(\lambda_j) < 0, j = 1, \cdots, m;$$

$$s = \frac{\max\limits_{1 \leq j \leq m} |\alpha_j|}{\min\limits_{1 \leq j \leq m} |\alpha_j|} \gg 1.$$

则称 (1.27) 为刚性方程组, s 称为刚性比.

通常  $s \sim \mathcal{O}(10^p)$ ,  $p \ge 1$  就称为刚性问题. s 越大病态性越严重.

对于非线性问题

(1.28) 
$$\frac{d\mathbf{y}}{dt} = \mathbf{f}(t, \mathbf{y}(t)), \quad \mathbf{y}(0) = \mathbf{y}_0.$$

可对  $\mathbf{f}(t,\mathbf{y})$  关于  $\mathbf{y}$  的 Jacobian 矩阵  $\frac{\partial \mathbf{f}}{\partial \mathbf{y}}(t,\mathbf{y}(t))$  来做类似定义和讨论



黄忠亿 (清华大学) 偏微分方程数值解法 北京,清华大学 59 / 99

# 刚性常微分方程-A 稳定

鉴于前面的分析, 如果用绝对稳定域 D 是有限区域的方法来计算上 述刚性问题时, 由于要求  $\bar{h}_i = \lambda_i h \in D$ , 必然有步长 h 要受到最小 (松 弛) 时间常数  $\tau_i$  的限制. 由于计算时间又需要超过最大时间常数的某个 倍数 (以接近稳态解), 这样计算步骤必然会很多. 为克服此困难, 我们引 入新的稳定性要求.

### 定义 1.9 (A-稳定性)

称一种差分方法是 A 稳定的, 若它的绝对稳定域 D 包含整个左半 复平面, 即  $D \supset \{\bar{h} \in \mathbb{C} \mid Re(\bar{h}) < 0\}$ .

关于 A 稳定的差分方法有以下定理:



北京, 清华大学

#### 定理 1.3

- 任何显式格式(包括单步法和多步法)不可能是 A 稳定的:
- ② A 稳定的线性多步法的阶不超过 2:
- 具有最小误差常数的 2 阶 A 稳定线性多步法为梯形法。

从此定理可以看出,具有 A 稳定性的方法不多. 我们一方面需要放 宽"A稳定"要求,另一方面还需构造一些新格式.

### 定义 1.10 ( $A(\alpha)$ 稳定)

称一种差分方法是  $A(\alpha)$ 稳定的, 如果该方法的绝对稳定域 D 中包 含一个无限大楔形区域:

$$W_{\alpha} = \left\{ \bar{h} \in \mathbb{C} \mid -\alpha < \pi - \arg(\bar{h}) < \alpha, \ \alpha \in (0, \frac{\pi}{2}) \right\}.$$

黄忠亿 (清华大学) 偏微分方程数值解法 北京,清华大学 61 / 99

# 刚性常微分方程-刚性稳定

如果存在  $\alpha$  充分小, s.t. 该方法是  $A(\alpha)$  稳定的, 则称该方法是 A(0)稳定的:

若  $\forall \alpha \in (0, \frac{\pi}{2})$  该方法都是  $A(\alpha)$  稳定的, 则称该方法是  $A(\frac{\pi}{2})$  稳定 的, 即 A 稳定的.

另外若绝对稳定域包含整个负实轴,则称方法是  $A_0$  稳定的. 如果再考虑方法的精度问题,我们引入以下刚性稳定的概念:

### 定义 1.11 (刚性稳定)

一种方法称为刚性稳定的, 若它是收敛的, 且存在正常数  $\alpha, \beta, \gamma$  s.t. 在区域  $D_1 = \{\bar{h} \in \mathbb{C} \mid Re(\bar{h}) \leq -\alpha\}$  上是绝对稳定的;

在区域  $D_2 = \{\bar{h} \in \mathbb{C} \mid -\alpha < Re(\bar{h}) < \beta, |Im(\bar{h})| < \gamma\}$  上该方法是 绝对(或相对)稳定的,且具有高精度,

黄忠亿 (清华大学) 偏微分方程数值解法 北京,清华大学 62/99

另一方面会发现, 具有无限大绝对稳定域不一定就很好了:

例 1.10 (梯形法 
$$y_{n+1} = y_n + \frac{h}{2}(f_n + f_{n+1})$$
)

求解试验方程 
$$y' = \mu y \Longrightarrow y_{n+1} = E(\bar{h})y_n$$
, 其中  $E(\bar{h}) = \frac{1 + \frac{h}{2}}{1 - \frac{\bar{h}}{2}}$ .

易见 
$$|\frac{y_{n+1}}{y_n}| = |E(\bar{h})| = \sqrt{\frac{1 + hRe(\mu) + \frac{1}{4}h^2|\mu|^2}{1 - hRe(\mu) + \frac{1}{4}h^2|\mu|^2}}$$

当  $|Re(\mu)| \gg 1$  且固定某个步长 h > 0 时,有  $|\frac{y_{n+1}}{y_n}| \approx 1$ . 说明梯形法计算出来的  $y_n$  是衰减很慢的一种振荡行为,这显然不对.

如果用后退 *(*隐式*) Euler* 法来计算,有  $y_{n+1}=\frac{1}{1-h\mu}y_n$ ,即  $E(\bar{h})=\frac{1}{1-\bar{h}}$ . 这时显然有当  $Re(\mu)\to -\infty$  时, $E(\bar{h})\to 0$ . 这是与实际相符的结果.

63 / 99

黄忠亿 (清华大学) 北京, 清华大学 偏微分方程数值解法 北京, 清华大学

# 刚性常微分方程-L 稳定性

为区分上述两种情形,我们引入 L-稳定概念:

#### 定义 1.12

称数值方法为L-稳定的, 若它是 A 稳定的, 且用于试验方程  $y' = \mu y$ 得到的解序列  $y_{n+1} = E(\bar{h})y_n$ , 这里  $h = h\mu$ , 当  $Re(h\mu) \rightarrow -\infty$  时, 有  $|E(h\mu)| \rightarrow 0$ .

#### 显然有下述关系:

L稳定  $\longrightarrow A$ 稳定  $\longrightarrow A(\alpha)$ 稳定  $\longrightarrow A(0)$ 稳定  $\longrightarrow A_0$ 稳定



64/99



# 解刚性常微分方程的线性多步法

我们先给出几个线性多步法的各种稳定性条件, 再给出几种常用多 步法的构造办法.

考虑 (1.11) 形式的 k 步法:

$$\sum_{j=0}^{k} \alpha_j y_{n+j} = h \sum_{j=0}^{k} \beta_j f_{n+j}.$$

其中取  $\alpha_k = 1$ ,  $\alpha_0^2 + \beta_0^2 \neq 0$  (以说明是 k 步法).  $\alpha_i, \beta_i \in \mathbb{R}$ , h > 0.

用于试验方程  $y' = \mu y$  得其特征方程为 (1.26) 形式:

$$\rho(z) - \bar{h}\sigma(z) = 0.$$

这里 
$$\bar{h} = \mu h$$
,  $\rho(z) = \sum_{j=0}^k \alpha_j z^j$ ,  $\sigma(z) = \sum_{j=0}^k \beta_j z^j$ .



65 / 99

设上面特征方程 (1.26) 的 k 个根为  $z_i(\bar{h})$ , 则方法 (1.11) 的绝对稳 定域为  $D = \{\bar{h} = \mu h \in \mathbb{C} | |z_j(\bar{h})| < 1, j = 1, \dots, k \}$ 

我们有以下多步法为 A-稳定的充要条件:

#### 定理 1.4

k 步法 (1.11) 为 A 稳定的充要条件是: 对 |z| > 1,  $\frac{\rho(z)}{\sigma(z)}$  为正则  $(即\sigma(z)\neq 0)$  的且有非负实部.

 $\forall \bar{h} \in \mathbb{C}$ , 若  $Re(\bar{h}) < 0$ , 则有 (1.26) 的根  $|z_j(\bar{h})| < 1$ . 这样若 |z| > 1 为 (1.11) 的根, 那么  $Re(\bar{h}) = Re\left(\frac{\rho(z)}{\sigma(z)}\right) \ge 0$ .

设  $|z_1| > 1$  为  $\sigma(z) = 0$  的根, 由  $\rho(z)$  与  $\sigma(z)$  无公因子, 即  $\rho(z_1) \neq 0$ .

否则  $z_1$  为(1.26)的根,  $\{y_n = z_1^n\}$  为解 (不依赖于 h), 自然无相容性



66 / 99

北京,清华大学

这样在  $z_1$  的一个邻域  $\Delta = \{|z| > 1, |z - z_1| < \delta\}$  内有  $m \in \mathbb{N}$  s.t.: (Laurent 展开)  $\frac{\rho(z)}{\sigma(z)} \sim C(z - z_1)^{-m}$ .

必有  $\xi \in \Delta$ , 使得  $Re(\frac{\rho(\xi)}{\sigma(\xi)}) < 0$ , 令  $\bar{h} = \frac{\rho(\xi)}{\sigma(\xi)}$ , 那么  $\xi$  就是 (1.26) 的根, 就与前面蓝色字体矛盾了.

因此 |z| > 1,  $\frac{\rho(z)}{\sigma(z)}$  为正则 (即 $\sigma(z) \neq 0$ ) 的且有非负实部.

"←" 反过来,设 |z| > 1, $\frac{\rho(z)}{\sigma(z)}$  为正则 (即 $\sigma(z) \neq 0$ ) 的且有非负实部. 那么  $Re(\bar{h}) < 0$  时,相应的根  $|z_j(\bar{h})| \leq 1$ .

同样由  $\rho(z)$  与  $\sigma(z)$  无公因子, 有此时  $\sigma(z_j) \neq 0$  (否则也有  $\rho(z_j) = 0$ , 矛盾)即在这些  $z_j$  上,  $\rho(z)/\sigma(z)$  是正则的. 若  $|z_j(\bar{h})| = 1$ , 由正则性也有  $Re(\frac{\rho(z_j)}{\sigma(z_j)}) \geq 0$ . 因此当  $Re(\bar{h}) < 0$  时, 都有  $|z_j(\bar{h})| < 1$ . 即方法 A 稳定.  $\triangleright$ 



#### 注 1.1

由上面定理可知, 若 k 步法 (1.11) 是 A 稳定的, 则  $\sigma(z)$  的根  $\sigma_i$  均 满足  $|\sigma_j| \leq 1$ ,  $j=1,\cdots,k$ . 若令  $\varphi(z) = Re\left(\frac{\rho(z)}{\sigma(z)}\right)$ , 则  $\forall \theta \in \mathbb{R}, \quad \varphi(e^{i\theta}) > 0.$ (1.29)

#### 注 1.2

由此可得: 显式格式 (包括多步法和单步法) 不可能是 A 稳定的.

因为此时  $\beta_k = 0$ , 必然有 k > m > 1 s.t.

当 
$$|z| \to +\infty$$
 时,  $\sigma(z) \sim az^{k-m}$ , 且  $a \neq 0$ .

而  $|z| \to +\infty$  时,  $\rho(z) \sim \alpha_k z^k$ . 这样有  $\frac{\rho(z)}{\sigma(z)} \sim bz^m$ , 当  $|z| \to +\infty$ .

这自然与 |z| > 1 时,  $Re\left(\frac{\rho(z)}{\sigma(z)}\right) \ge 0$  矛盾。

设 
$$\sigma(z)=0$$
 的根  $\sigma_j$  满足 (1.30)  $|\sigma_j|<1,\quad j=1,\cdots,k.$ 

#### 定理 1.5

若 (1.29)-(1.30) 成立,则多步法 (1.11) 是 A-稳定的.

### 定理 1.6 (关于 $A(\alpha)$ 稳定有以下结论)

- 显式格式不可能是 A(0) 稳定的 (自然也不可能是  $A(\alpha)$  稳定的)
- 只有一种 p = k + 1 阶 A(0) 稳定的 k 步法, 即梯形法;
- $\forall \alpha \in [0, \frac{\pi}{3})$   $\mathbb{Z}$   $k \leq 4$ , f  $A(\alpha)$  稳定的  $k \not = k$  阶线性多步法.



北京,清华大学

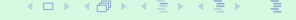
# $A(\alpha)$ 稳定的线性多步法

## 定理 1.7 ( $A(\alpha)$ 稳定的充分条件)

k 步法 (1.11)是  $A(\alpha)$  稳定的, 如果下列条件成立

- 多步法公式 (1.11) 满足根条件;
- ②  $\beta_k \neq 0$  (即隐式格式),  $\alpha_k/\beta_k > 0$ ;
- **③**  $\sigma(z) = 0$  的根  $|\sigma_j| < 1$ ,  $j = 1, \dots, k$ ;
- Im $(\psi(e^{i\theta})) \ge 0$ ,  $\forall \theta \in [0,\pi]$ , 其中  $\psi(z) = \frac{\rho(z)}{\sigma(z)}$ ;





北京, 清华大学

# 刚性稳定的线性多步法

### 定理 1.8 (刚性稳定的充要条件)

收敛的线性多步法 (1.11) 是刚性稳定的充要条件为

- 该方法是 A<sub>0</sub> 稳定的 /绝对稳定域包含负实轴);
- ② 多项式  $\rho(z)/(z-1)$  的根模都小于 1;
- ③  $\sigma(z)$  的模为 1 的根均为单根;
- **③** 若  $\sigma(z_1) = 0$  且  $|z_1| = 1$ , 则  $\frac{\rho(z_1)}{z_1 \sigma'(z_1)}$  为正实数.

下面我们介绍常用的用于求解刚性方程的多步法.



71 / 99

# 向后差分线性多步法

事实上,解初值问题(1.1)的向后差分格式

(1.31) 
$$\sum_{j=1}^{k} \frac{1}{j} \nabla^{j} y_{n+k} = h f_{n+k}, \quad \sharp \oplus \quad \nabla y_{n} = y_{n} - y_{n-1},$$

很早就有人使用, 但由于其只是 k 阶精度, 故后来不常用.

但近年来人们发现其适用于刚性方程组, 于是又重新启用.

我们也可将其改写成常用形式:

(1.32) 
$$\sum_{j=0}^{k} \alpha_j y_{n+j} = h \beta_k f_{n+k}, \quad \mathfrak{R} \alpha_k = 1, \ \beta_k \neq 0.$$





### 向后差分线性多步法

可以用 Taylor 展开的办法定出系数  $\alpha_0, \dots, \alpha_{k-1}$  及  $\beta_k$ :

$$\left\{
 \begin{array}{l}
 \alpha_0 + \alpha_1 + \dots + \alpha_{k-1} + 1 = 0 \\
 \alpha_1 + 2\alpha_2 + \dots + (k-1)\alpha_{k-1} + k = \beta_k \\
 \vdots \\
 \frac{1}{k!} [\alpha_1 + 2^k \alpha_2 + \dots + (k-1)^k \alpha_{k-1} + k^k] = \frac{k^{k-1}}{(k-1)!} \beta_k
 \end{array}
 \right.$$

解以上方程组可得到所需系数. 如

$$k=1$$
 时即为后退 Euler 法:  $y_{n+1}=y_n+hf(t_{n+1},y_{n+1})$ .  $k=2$  时可得  $\alpha_1=-\frac{4}{3},\ \alpha_0=\frac{1}{3},\ \beta_2=\frac{2}{3},\$ 即格式为  $y_{n+2}=\frac{4}{3}y_{n+1}-\frac{1}{3}y_n+\frac{2}{3}hf_{n+2}.$ 



73 / 99

### 向后差分线性多步法

可以证明  $k \leq 2$  时, 上面 (1.31) 给出的向后差分法为 A-稳定的;  $3 \le k \le 6$  时, (1.31) 给出的多步法为  $A(\alpha)$ -稳定和刚性稳定的;  $7 \le k$  时,  $\rho(z)$  不再满足根条件, 因此不能用. 对于 k > 2 时,还可以将 (1.32) 改进为

(1.34) 
$$\sum_{j=0}^{k} \alpha_j y_{n+j} = h \left( \beta_k f_{n+k} + \beta_{k-1} f_{n+k-1} + \beta_{k-2} f_{n+k-2} \right).$$

其中  $\alpha_k = 1$ . 一般我们还要求

- $\bullet$  当  $h\mu \to -\infty$  时, (1.34) 是绝对稳定的;
- ② 选取  $\alpha_i$ ,  $\beta_i$  使得(1.34) 是k 阶相容且刚性稳定的.



北京, 清华大学

### 向后差分线性多步法

显然上面的 (1.34) 有更多参数, 所以它可比 (1.32) 具有更大绝对稳 定域.

#### 例 1.11

对于 k=2 的 (1.34) 式, 有

$$\alpha_2 = 1, \ \alpha_1 = -\frac{1}{2}, \ \alpha_0 = -\frac{1}{2}, \ \beta_2 = \frac{5}{4}, \ \beta_1 = -\frac{3}{4}, \ \beta_0 = 1.$$

此时它为 A 稳定的.

 $3 \le k \le 7$  时, 它也是  $A(\alpha)$  稳定和刚性稳定的, 且稳定域比 (1.32) 更好.





# 求解刚性问题的隐式 Runge-Kutta 法

前面已经引入了基于 Gauss-Legendre 积分法推导出来的 m 级 2m阶的隐式 R-K 格式. 当然我们也可以基于其他的 Gauss 型求积公式得到 其他一些差分格式. 这里我们主要来分析一下隐式 R-K 格式是否适于求 解刚性问题.

回顾一下隐式 R-K 方法

(1.35) 
$$\begin{cases} y_{n+1} = y_n + h \sum_{j=1}^m c_j K_j, \\ K_j = f(t_n + a_j h, y_n + h \sum_{l=1}^m b_{jl} K_l), & j = 1, \dots, m \end{cases}$$

若将之用于试验方程  $y' = \mu y$ ,  $\text{Re}(\mu) < 0$ , 有

$$K_j = \mu y_n + h\mu \sum_{l=1}^k b_{jl} K_l.$$



# 解刚性问题的隐式 Runge-Kutta 法

 $\vec{c} = (c_1, \dots, c_m)^T, \ \vec{K} = (K_1, \dots, K_m)^T, \ \vec{e} = (1, \dots, 1)^T \in \mathbb{R}^m,$  $B = (b_{ij}) \in \mathbb{R}^{m \times m}$ , 并假设  $(I - \bar{h}B)$  可逆, 得  $\begin{cases} y_{n+1} - \bar{h} \stackrel{\rightharpoonup}{c}^T \stackrel{\rightharpoonup}{K} = y_n \\ (I - \bar{h}B) \stackrel{\rightharpoonup}{K} = y_n \stackrel{\rightharpoonup}{e} \end{cases}$ (1.36)

(1.37) 
$$y_{n+1} = [1 + \bar{h} \ \vec{c}^T (I - \bar{h}B)^{-1} \ \vec{e}] y_n \equiv R(\bar{h}) y_n.$$

在方程组 (1.36) 中将  $y_{n+1}$ , K 看成未知, 由 Cramer's 法则可得

$$y_{n+1} = y_n \begin{vmatrix} 1 & -\bar{h} \stackrel{\rightarrow}{c}^T \\ \stackrel{\rightarrow}{e} & I - \bar{h}B \end{vmatrix} / \begin{vmatrix} 1 & -\bar{h} \stackrel{\rightarrow}{c}^T \\ 0 & I - \bar{h}B \end{vmatrix} = y_n \frac{\det(I - \bar{h}B + \bar{h} \stackrel{\rightarrow}{e} \stackrel{\rightarrow}{c}^T)}{\det(I - \bar{h}B)}$$



77 / 99

黄忠亿 (清华大学) 偏微分方程数值解法 北京, 清华大学

# 解刚性问题的隐式 Runge-Kutta 法

即 m 级 2m 阶隐式 R-K 方法的稳定性函数 (增长因子)为

$$R(z) = \frac{\det(I - \bar{h}B + \bar{h} \stackrel{\rightarrow}{e} \stackrel{\rightarrow}{c}^T)}{\det(I - \bar{h}B)}.$$

另一方面, 令  $R_{m,n}(z) = \frac{P_m(z)}{Q_n(z)}$  为  $e^z$  的 (m,n) Padé 逼近, 即  $e^{z} - R_{m,n}(z) = \mathcal{O}(|z|^{m+n+1}), \quad \stackrel{\text{def}}{=} |z| \to 0.$ 

可以证明: m 级 2m 阶隐式 R-K 方法的稳定性函数  $R(z) = R_{m,m}(z)$ , 即 (m,m) 阶 Padé 逼近.

Ehle 1973 年证明了对于  $e^z$  的 (m,n) 阶 Padé 逼近  $R_{m,n}(z)$ , 当  $n-2 \le m \le n$  时, 在 Re(z) < 0 时都有  $|R_{m,n}(z)| < 1$ . 即证明了基于 Gauss 求积公式导出的隐式 R-K 格式是 A 稳定的!



黄忠亿. (清华大学 偏微分方程数值解法 北京, 清华大学 78 / 99

# 对角隐式、半隐式 Runge-Kutta 法

为了避免求解高维非线性方程组(注意:假如原来就是 r 维方程组, 用 m 级的 R-K 方法求解, 计算  $K_i$  就需要求解 mr 维的非线性方程组) 人们又发展了一些对角隐式和半隐式的 R-K 方法:

所谓对角隐式 R-K 方法, 也就是矩阵 B 为下三角阵, 这样每一个积 分步计算  $K_i$  只需要解  $m \uparrow r$  维的方程组:

$$K_j = f(t_n + a_j h, y_n + h \sum_{l=1}^{J} b_{jl} K_l), \quad j = 1, \dots, m.$$

Norsett 给出了一种 2 级 3 阶的 A 稳定的 R-K 方法  $(\gamma = \frac{1}{2} \pm \frac{\sqrt{3}}{6})$ :

$$\vec{a} = (\gamma, 1 - \gamma)^T$$
,  $B = \begin{pmatrix} \gamma & 0 \\ 1 - 2\gamma & \gamma \end{pmatrix}$ ,  $\vec{c} = (\frac{1}{2}, \frac{1}{2})^T$ .

该方法为 2 级 3 阶 A 稳定格式, 因为  $R(z) = \frac{1+(1-2\gamma)z+(1/2-2\gamma+\gamma^2)z^2}{(1-\gamma z)^2}$ .



黄忠亿 (清华大学 偏微分方程数值解法 北京, 清华大学

# 对角隐式、半隐式 Runge-Kutta 法

Rosenbrok, Haines 提出了一种半隐式 R-K 方法:

对  $y' = f(y), y, f \in \mathbb{R}^r$ , 构造方法如下:

$$y_{n+1} = y_n + h \sum_{j=1}^{m} c_j K_j,$$

$$K_j = f(y_n + h \sum_{l=1}^{j-1} \alpha_{jl} K_l) + d_j h \cdot J(y_n + h \sum_{l=1}^{j-1} \beta_{jl} K_l) \cdot K_j.$$

这里  $J(y) = \frac{\partial f}{\partial y}$  为 f(y) 之 Jiacobi 矩阵. 可看到这里关于  $K_i$  的方程组 是线性方程组, 易于求解.

m=2 时, 若要求为 p=2 阶方法, 可用 Taylor 展开定出系数 可取  $c_1 = 0, c_2 = 1, \alpha_{21} = 0, d_1 = d_2 = 1 - \frac{\sqrt{2}}{2}, \beta_{21} = \frac{\sqrt{2}-1}{2}.$ 此时有  $R(z) = \frac{1+(\sqrt{2}-1)z}{1+(\sqrt{2}-2)z+(\frac{3}{2}-\sqrt{2})z^2}$ .

可以看到此方法是 L 稳定的方法(自然也是 A 稳定的).



黄忠亿 (清华大学) 偏微分方程数值解法 北京,清华大学 80 / 99

### 目录

### 1 常微分方程数值解

- 一阶常微方程初值问题的差分方法
- 常微方程初值问题的多步法
- 常微方程差分方法的绝对稳定性与相对稳定性
- 刚性常微分方程组的差分方法
- Hamilton 系统的辛几何算法





### Hamilton 系统

从现代物理看,一切真实的、无耗散(耗散效应可以忽略不计)的 物理过程都可以表达为 Hamilton 系统形式 (无论是经典力学还是量子 力学). Hamilton 体系出现于许多学科领域,如流体力学、弹性力学、天 体力学、几何光学、等离子体物理和最优控制等. 因此可以说,研究 Hamilton 系统的数值计算方法具有重要意义.

经典的常微方程数值解法 (例如 Runge-Kutta 方法) 一般不适用于 这类问题的计算. 这主要是因为这些算法都是耗散型方法, 会导致相应的 哈密尔顿系统总能量随时间呈线性变化 (因为近似计算会使能量误差线 性累积),从而导致对系统长期演化性态研究的失败.

Hamilton 力学的研究基础是辛几何。辛几何的历史可以追溯到十九 世纪,英国天文学家 Hamilton 引入广义坐标和广义动量来表示系统能 量,即 Hamilton 函数。

### Hamilton 系统

对于 n 个自由度系统, n 个广义坐标和 n 个广义动量张成 2n 维相 空间,从现代观点看,这就是一种辛几何学。我国冯康院十1984年注意 到辛几何在数值分析中的应用,并提出了辛算法,从而开创了哈密尔顿力 学的新的计算方法研究.

设  $H(p_1, \dots, p_n, q_1, \dots, q_n)$  是关于 2n 个自变量  $\{p_i, q_i\}_{i=1}^n$  的可微 函数. 其中  $p_i = p_i(t)$ ,  $q_i = q_i(t)$ . 则 Hamilton 方程一般写成

(1.38) 
$$\begin{cases} \frac{d\mathbf{p}}{dt} = -\frac{\partial H}{\partial \mathbf{q}}(\mathbf{p}, \mathbf{q}), & \mathbf{p}(0) = \mathbf{p}_0, \\ \frac{d\mathbf{q}}{dt} = \frac{\partial H}{\partial \mathbf{p}}(\mathbf{p}, \mathbf{q}), & \mathbf{q}(0) = \mathbf{q}_0. \end{cases}$$

其中  $\mathbf{p} = (p_1, \cdots, p_n)^T, \mathbf{q} = (q_1, \cdots, q_n)^T \in \mathbb{R}^n.$ 

 $H(\mathbf{p},\mathbf{q})$  即称为系统的Hamilton 函数.



83 / 99

偏微分方程数值解法 黄忠亿 (清华大学) 北京,清华大学

### Hamilton 系统

若记 
$$\mathbf{z} = \begin{pmatrix} \mathbf{p} \\ \mathbf{q} \end{pmatrix}, J_{2n} = \begin{pmatrix} 0 & I_n \\ -I_n & 0 \end{pmatrix} \in \mathbb{R}^{2n \times 2n}.$$

其中  $I_n$  为 n 阶单位矩阵. 那么有

(1.39) 
$$\dot{\mathbf{z}} \equiv \frac{d\mathbf{z}}{dt} = J_{2n}^{-1} \frac{\partial H}{\partial \mathbf{z}}, \quad \mathbf{z}(0) = \mathbf{z}_0.$$

这里  $\frac{\partial H}{\partial x}$  为所谓的 Jacobi 矩阵. 易见  $J_{2n}$  有如下性质:

### 定理 1.9

- $J_{2n}^{-1} = J_{2n}^T = -J_{2n}$
- $v \in \mathbb{R}^{2n}$ ,  $v^T J_{2n} v = 0$ :
- ③ 若  $A \in \mathbb{R}^{2n \times 2n}$  为对称阵,  $B = J_{2n}A$ , 则  $B^TJ_{2n} + J_{2n}B = 0$ .



84 / 99

### 欧氏几何与辛几何的差别

欧氏几何是研究"长度"的几何学,辛几何则是研究"有向面积"的几 何学.

我们知道欧式空间中的内积定义了长度、正交概念. 欧氏空间  $\mathbb{R}^n$  =  $\{\mathbf{x}=(x_1,\cdots,x_n)^T\}$  的欧几里得结构取决于双线性非退化内积

$$(\mathbf{x},\mathbf{y})=\mathbf{x}^TI_n\mathbf{y}.$$

当  $\mathbf{x} \neq 0$  时,  $(\mathbf{x}, \mathbf{x})$  恒正, 即可引入长度的概念  $\|\mathbf{x}\| = \sqrt{(\mathbf{x}, \mathbf{x})}$ . 保持内积 (即长度) 不变  $\|A\mathbf{x}\| = \|\mathbf{x}\|$ , 即满足  $A^TA = I_n$  的线性算子 A 组成一个正 交群.

欧氏空间的正交基  $\{\mathbf{e}_1, \dots, \mathbf{e}_n\}$  满足  $(\mathbf{e}_i, \mathbf{e}_i) = \delta_{ii}$ . 空间中任一集合 V 均有其正交补集  $V^{\perp} = \{ \mathbf{x} \in \mathbb{R}^n, (\mathbf{x}, \mathbf{y}) = 0, \forall \mathbf{y} \in V \}.$ 



# 辛几何、辛内积与辛矩阵

辛几何时相空间中的几何学,它取决于一个双线性反对称的非退化内积——在相空间  $\mathbb{R}^{2n}$  上定义的辛内积:

$$\forall \mathbf{x} = (x_1, \cdots, x_{2n})^T, \mathbf{y} = (y_1, \cdots, y_{2n})^T \in \mathbb{R}^{2n}$$

(1.40) 
$$[\mathbf{x}, \mathbf{y}] = (\mathbf{x}, J_{2n}\mathbf{y}) = \mathbf{x}^T J_{2n}\mathbf{y} = \sum_{i=1}^n (x_i y_{n+i} - x_{n+i} y_i).$$

n=1 时恰好为  $\mathbf{x} = (x_1, x_2)^T$  与  $\mathbf{y} = (y_1, y_2)^T$  两个向量张成的平行四边形的有向面积.

辛内积具有反对称性:  $\forall \mathbf{x} \in \mathbb{R}^{2n}$ ,  $[\mathbf{x}, \mathbf{x}] = 0$ . 因此不能由辛内积定义长度的概念, 这是与欧氏几何的本质差别.

### 定义 1.13 (辛矩阵)

称一个 2n 阶的实方阵 S 为辛矩阵,若  $S^TJ_{2n}S = J_{2n}$ .

《 ロ 》 《 國 》 《 夏 》 《 夏 》 · 夏 · 夕

黄忠亿 (清华大学) 北京,清华大学 偏微分方程数值解法 北京,清华大学 86/99

## 辛几何正交基与辛变换

辛几何空间的正交基  $\{e_1, e_2, \cdots, e_n, e_{n+1}, \cdots, e_{2n}\}$  满足

$$[e_i,e_j] = [e_{n+i},e_{n+j}] = 0, \quad [e_i,e_{n+j}] = [e_{n+j},e_i] = 0, \quad 1 \le i,j \le n.$$

此外,对于任何集合  $V \subset \mathbb{R}^{2n}$ ,存在斜交补集

$$V^{\top} = \{ x \in \mathbb{R}^{2n} | [x, y] = 0, \ \forall y \in V \subset \mathbb{R}^{2n} \}.$$

### 定义 1.14 (对一个线性变换 $S: \mathbb{R}^{2n} \to \mathbb{R}^{2n}$ )

称 S 为辛变换如果它保持辛内积不变, 即  $[S\mathbf{x}, S\mathbf{y}] = [\mathbf{x}, \mathbf{y}].$ 

易见 S 为辛变换当且仅当  $S^T J_{2n} S = J_{2n}$ , 即 S 为辛矩阵.

由于奇数维空间不存在非退化的反对称矩阵,因此辛空间一定是偶 数维空间。



黄忠亿 (清华大学) 偏微分方程数值解法

## 辛结构与辛群

### 定义 1.15 (辛结构)

设 V 是定义在实数域上的线性空间, 在  $V \times V$  上定义的二元运算  $\omega: V \times V \to \mathbb{R}$  满足以下性质

- $\omega(\lambda_1 x_1 + \lambda_2 x_2, y) = \lambda_1 \omega(x_1, y) + \lambda_2 \omega(x_2, y),$ ○ 双线性性:  $\omega(x, \lambda_1 y_1 + \lambda_2 y_2) = \lambda_1 \omega(x, y_1) + \lambda_2 \omega(x, y_2);$
- ② 非退化性:  $\forall x \in V$ , 若  $\omega(x,y) = 0$ ,  $\forall y \in V$ , 则  $x \equiv 0$ :
- ③ 反对称性:  $\forall x, y \in V, \omega(x, y) = -\omega(y, x)$ .

则称  $(V,\omega)$  为辛空间,  $\omega$  称为一个辛映射或辛结构.

所有辛矩阵构成一个群,我们称之为辛群,用符号 Sp(2n) 来表示。

#### 定理 1.10

如果  $S \in Sp(2n)$ , 则 (i) det(S) = 1; (ii)  $SJ_{2n}S^T = J_{2n}$ ; (iii)  $S^{-1} = I$  $-J_{2n}S^TJ_{2n} = J_{2n}^{-1}S^TJ_{2n}$ .

## 无穷小辛矩阵

### 定义 1.16 (无穷小辛矩阵)

称一个 2n 阶的实方阵 SB 为无穷小辛矩阵,若

$$B^T J_{2n} + J_{2n} B = 0.$$

所有无穷小辛矩阵用符号 sp(2n) 来表示.

#### 引理 1.3

矩阵 B 是无穷小辛矩阵当且仅当  $B = J_{2n}A$ , 其中 A 是对称矩阵.

#### 定理 1.11

如果  $B \in sp(2n)$ , 则  $\exp(B) \in Sp(2n)$ .

### 定理 1.12

如果  $B \in sp(2n)$ , 而且  $|I_{2n} + B| \neq 0$ , 则有

$$F = (I_{2n} + B)^{-1}(I_{2n} - B) \in Sp(2n).$$

此时称 F 是 B 的 Cayley 变换.

## 线性 Hamilton 系统的辛格式

任何时间发展问题的差分格式,都可看成前一时刻到下一时刻的映射. 若该映射的 Jiacobi 矩阵为辛矩阵,则称该格式为辛格式. 我们先来看线性 Hamilton 系统情形,即 Hamiltonian 为二次函数

(1.41) 
$$H(\mathbf{z}) = \frac{1}{2}\mathbf{z}^T S \mathbf{z}, \quad \sharp \oplus S^T = S.$$

这时 Hamilton 系统形式为

(1.42) 
$$\frac{d\mathbf{z}}{dt} = B\mathbf{z}, \quad B = J_{2n}^{-1}S.$$

显然该问题的解为

$$\mathbf{z}(t) = \exp(tB) \cdot \mathbf{z}(0).$$

我们考虑用一种差分方法来求解 (1.42)

$$\mathbf{z}_{n+1} = F(\mathbf{z}_n; h), \quad h \text{ 为时间步长}.$$



# 线性 Hamilton 系统的辛格式

如果  $\frac{\partial F}{\partial \mathbf{z}_n}$  为辛矩阵, 按照前面的定义称该算法为辛算法.

从上面解的结构 (1.43) 和算法 (1.44) 的对比来看, 如果  $F(\mathbf{z}_n; h)$  是  $\exp(hB)\mathbf{z}_n$  的一个好的近似, 则该算法有可能是好算法, 且可保持原有的辛结构 (即为辛算法).

这样考虑 
$$e^x$$
 的Padé 逼近:  $R_{kl}(x) = \frac{P_k(x)}{Q_l(x)}$ , s.t. 
$$e^x - R_{kl}(x) = \mathcal{O}(|x|^{k+l+1}), \quad \exists x \to 0 \text{ 时.}$$

这样如果令  $F(\mathbf{z};h) = R_{kk}(hB)\mathbf{z}_n$ , 容易验证

$$\mathbf{z}_{n+1} = \frac{P_k(hB)}{Q_k(hB)}\mathbf{z}_n = \frac{P_k(hB)}{P_k(-hB)}\mathbf{z}_n$$
 为辛格式,且具有  $2k$  阶精度.

$$\sharp P_0(x) = 1, P_1(x) = x + 2, P_n(x) = 2(2n - 1)P_{n-1}(x) + x^2P_{n-2}(x).$$



北京, 清华大学

### 线性 Hamilton 系统的辛格式

#### 例 1.12

k=1 时即为中点格式:

$$\mathbf{z}_{n+1} = \left(I - \frac{hB}{2}\right)^{-1} \left(I + \frac{hB}{2}\right) \mathbf{z}_n \Longleftrightarrow \mathbf{z}_{n+1} = \mathbf{z}_n + \frac{hB}{2} (\mathbf{z}_n + \mathbf{z}_{n+1}).$$

此辛格式有二阶精度。

$$k=2$$
 时, 格式为

$$\mathbf{z}_{n+1} = \left(I - \frac{hB}{2} + \frac{h^2B^2}{12}\right)^{-1} \left(I + \frac{hB}{2} + \frac{h^2B^2}{12}\right) \mathbf{z}_n$$

$$\iff \mathbf{z}_{n+1} = \mathbf{z}_n + \frac{hB}{2} (\mathbf{z}_n + \mathbf{z}_{n+1}) + \frac{h^2B^2}{12} (z_n - z_{n+1}).$$

此辛格式有四阶精度,

## 非线性 Hamilton 系统的辛格式

推广到非线性 Hamilton 系统情形

(1.45) 
$$\frac{d\mathbf{z}}{dt} = J_{2n}^{-1} \frac{\partial H}{\partial \mathbf{z}}.$$

可以用上述 Padé 逼近表中对角线上的格式 (k = l) 来类似构造.

例如对于 k=1, 有

$$\frac{\mathbf{z}_{n+1} - \mathbf{z}_n}{h} = J_{2n}^{-1} \frac{\partial H}{\partial \mathbf{z}} \left( \frac{\mathbf{z}_n + \mathbf{z}_{n+1}}{2} \right)$$

在 h 充分小时为辛格式.



北京, 清华大学

# 非线性 Hamilton 系统的辛格式

如果 H 是可分的, 即

$$H(\mathbf{p},\mathbf{q}) = \phi(\mathbf{p}) + \psi(\mathbf{q}) \stackrel{\text{folding}}{=} \frac{1}{2} \mathbf{p}^T U \mathbf{p} + \frac{1}{2} \mathbf{q}^T V \mathbf{q}.$$

其中  $U^T = U, V^T = V$  且正定,则可构造显式辛格式:

$$\mathbf{p}_{n+1} = \mathbf{p}_n - hV\mathbf{q}_{n+\frac{1}{2}}, \quad \mathbf{q}_{n+\frac{3}{2}} = \mathbf{q}_{n+\frac{1}{2}} + h\mathbf{p}_{n+1}.$$

这相当于  $\mathbf{z}_{n+1} = F_n^h \mathbf{z}_n$ , 其中

$$\mathbf{z}_n = \begin{pmatrix} \mathbf{p}_n \\ \mathbf{q}_{n+\frac{1}{2}} \end{pmatrix}, \quad F_n^h = \begin{pmatrix} I_n & 0 \\ -hU & I_n \end{pmatrix}^{-1} \begin{pmatrix} I_n & -hV \\ 0 & I_n \end{pmatrix}.$$

显然有  $F_n^h$  为辛矩阵.



北京、清华大学

对于一般非线性 Hamilton 系统可以构造辛 R-K 格式.

将 Hamilton 系统表示为

(1.46) 
$$\frac{d\mathbf{z}}{dt} = \mathbf{f}(\mathbf{z}), \quad \sharp \dot{\mathbf{p}} \mathbf{z} = \begin{pmatrix} \mathbf{p} \\ \mathbf{q} \end{pmatrix}, \quad \mathbf{f}(\mathbf{z}) = \begin{pmatrix} -\frac{\partial H}{\partial \mathbf{q}} \\ \frac{\partial H}{\partial \mathbf{p}} \end{pmatrix} \in \mathbb{R}^{2n}$$

考虑如下 m 级 R-K 格式:

(1.47) 
$$\begin{cases} \mathbf{z}_{n+1} &= \mathbf{z}_n + \sum_{j=1}^m c_j K_j, \\ K_j &= \mathbf{f} \left( \mathbf{z}_n + h \sum_{l=1}^m b_{jl} K_l \right), \quad j = 1, \dots, m \end{cases}$$

我们有如下定理.



北京、清华大学

#### 定理 1.13

隐式 R-K 方法(1.47)是辛格式, 如果

(1.48) 
$$c_i b_{ij} + c_j b_{ji} = c_i c_j, \quad i, j = 1, \dots, m$$

或者说  $M \equiv CB + B^TC - \overrightarrow{c} \overrightarrow{c}^T = 0$ , 其中  $\overrightarrow{c} = (c_1, \dots, c_m)^T \in \mathbb{R}^m$ ,  $C = diag(c_1, \cdots, c_m), B = (b_{ij}) \in \mathbb{R}^{m \times m}.$ 

可以验证, 基于 Gauss 求积公式得到的隐式 R-K 格式均为辛格式!

### 例 1.13 (m=2, p=4, 二级四阶 R-K 格式)

$$\begin{cases} \mathbf{z}_{n+1} &= \mathbf{z}_n + \frac{h}{2}(K_1 + K_2), \\ K_1 &= \mathbf{f}(\mathbf{z}_n + h(\frac{1}{4}K_1 + (\frac{1}{4} - \frac{\sqrt{3}}{6})K_2)) \\ K_2 &= \mathbf{f}(\mathbf{z}_n + h((\frac{1}{4} + \frac{\sqrt{3}}{6})K_1) + \frac{1}{4}K_2) \end{cases}$$

96 / 99

### 例 1.14

对角隐式 R-K 方法也可以是辛格式: 1-r 1-2r r  $\frac{1}{2}$   $\frac{1}{2}$ 

取  $r = \frac{1}{4}$  可以验证满足 (1.48). 这是一个二级二阶格式 (相当于

97 / 99

用了两次中点格式). 为了提高精度, 可以采用:

其中 r 为三次方程  $6r^3-12r^2+6r-1=0$ 

的唯一实根. 这是个三级三阶辛格式.

黄忠亿 (清华大学) 北京, 清华大学 偏微分方程数值解法 北京, 清华大学

如果  $H(\mathbf{p}, \mathbf{q}) = U(\mathbf{p}) + V(\mathbf{q})$  是可分形式, 可构造显式辛 R-K 法:

### 例 1.15 (显式四级四阶辛 R-K 格式)

$$\ddot{\mathbf{r}} \varphi(\mathbf{q}) = -V'(\mathbf{q}), \ \psi(\mathbf{p}) = U'(\mathbf{p}), \ \alpha = \sqrt[3]{2} + \frac{1}{\sqrt[3]{2}}, \ \diamondsuit$$

$$\ddot{\mathbf{p}}_1 = \mathbf{p}_n + hc_1\phi(\mathbf{q}_n), \qquad \ddot{\mathbf{q}}_1 = \mathbf{q}_m + hd_1\psi(\tilde{\mathbf{p}}_1),$$

$$\ddot{\mathbf{p}}_2 = \ddot{\mathbf{p}}_1 + hc_2\phi(\tilde{\mathbf{q}}_1), \qquad \ddot{\mathbf{q}}_2 = \ddot{\mathbf{q}}_1 + hd_2\psi(\tilde{\mathbf{p}}_2),$$

$$\ddot{\mathbf{p}}_3 = \ddot{\mathbf{p}}_2 + hc_3\phi(\tilde{\mathbf{q}}_2), \qquad \ddot{\mathbf{q}}_3 = \ddot{\mathbf{q}}_2 + hd_3\psi(\tilde{\mathbf{p}}_3),$$

$$\mathbf{p}_{n+1} = \ddot{\mathbf{p}}_3 + hc_4\phi(\tilde{\mathbf{q}}_3), \qquad \mathbf{q}_{n+1} = \ddot{\mathbf{q}}_3 + hd_4\psi(\mathbf{p}_{n+1}),$$

### 这里系数 $c_i, d_i$ 满足

$$c_1 = 0$$
,  $c_2 = c_4 = \frac{2+\alpha}{3}$ ,  $c_3 = -\frac{1+2\alpha}{3}$ ,  $d_1 = d_4 = \frac{2+\alpha}{6}$ ,  $d_2 = d_3 = \frac{1-\alpha}{6}$ .

黄忠亿 (清华大学) 偏微分方程数值解法 北京,清华大学 98 / 99

### 辛算法小结

从前面的分析可知,一般情况下,辛格式往往是隐式格式,只有在 特殊情形(如可分 Hamilton 系统),利用显、隐交替技术,可以建立本 质上是显式计算的辛格式。

冯康院士等人在发展算法的同时,利用线性达布变换的框架构造了 所有类型的生成函数与相应的哈密尔顿-雅可比方程。

实践证明,哈密尔顿算法(辛算法)不仅是一类新的数值方法,它 们严格保持哈密尔顿系统的辛结构,有限阶辛算法的截断误差也不会导 致系统能量发生线性变化,而仅仅是周期变化。这一特征正是人们期待 的。特别是对像天体物理中的有关问题进行研究时,由于辛算法能保持 连续系统的辛结构,会使得长期演化性态能较真实地反映天体现象。

辛算法在长期跟踪计算中发挥出传统方法无法比拟的优势。



99 / 99